

# SYMÉTRIQUES D'UNE DROITE

## PAR RAPPORT

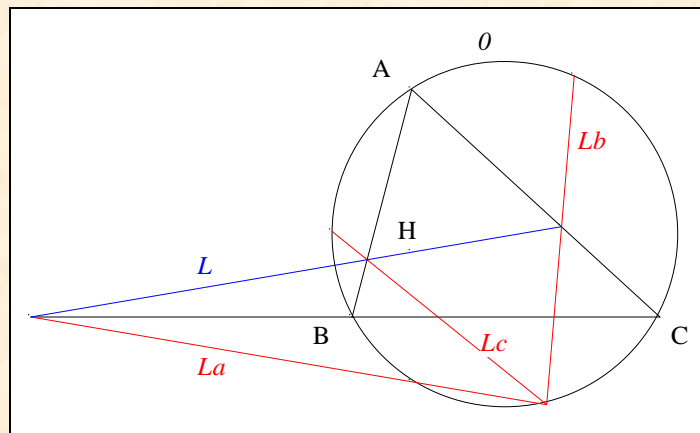
### AUX CÔTES D'UN TRIANGLE

#### A THEMA IN PROCESS



*Le rythme est au temps  
ce que  
la symétrie au sens ancien est à l'espace.<sup>1</sup>*

Jean-Louis AYME<sup>2</sup>



#### Résumé.

L'auteur présente *A Thema in Process* concernant "les symétriques d'une droite par rapport aux côtés d'un triangle". Des preuves originales sont présentées en ce qui concerne les droites d'Euler et de Steiner, du théorème Collings (1987) déjà relaté par Lalesco vers 1916, d'un résultat de Pohoata ainsi que du point de symétrie de Parry et des cercles y passant. Le thème se termine par une direction relative à un triangle inscrit.

Les figures sont toutes en position générale et tous les théorèmes cités peuvent tous être démontrés synthétiquement.

#### Abstract.

The author presents *A Thema in Process* concerning "the symmetric of a line with respect to the sides of a triangle". Original proofs are presented in relation to the Euler and Steiner's lines, Collings-Lalesco's theorem (1987) already recounted by Lalesco in 1916, Pohoata-Lalesco's result as well as the Parry's reflection point and circles passing. The thema ends with a direction relative to an inscribed triangle.

The figures are all in general position and all cited theorems can all be shown synthetically.

<sup>1</sup> Pour Vitruve, architecte romain du I<sup>er</sup> av. J.-C., la symétrie consistait en "la répétition de formes semblables" par un accord de mesure commune i.e. une comodulation. Le sens ancien se perdit à la fin du XVII<sup>e</sup> au profit du sens moderne.

<sup>2</sup> Saint-Denis, Île de La Réunion (Océan Indien, France), le 20/06/2014

<b>Sommaire</b>	
<b>A. Une droite relative à un triangle</b>	<b>3</b>
<b>I. La droite d'Euler</b>	
<b>II. Une droite de Steiner</b>	
<b>III. Une ménélienne</b>	
1. Un lemme	
2. Le théorème de Collings-Lalesco	
3. Une courte biographie de Trajan Lalesco	
4. Une réciproque	
<b>B. Le triangle <math>A*B*C*</math> ou de Lalesco</b>	<b>16</b>
1. Le triangle circumorthique	
2. Deux parallèles	
3. La redécouverte de Cosmin Pohoata	
<b>C. Une direction relative à un triangle</b>	<b>22</b>
1. Une droite de Steiner parallèle à une cévienne	
2. Cas où $Lh$ est la droite d'Euler	
3. Le point de symétrie de Parry	
4. Une courte note sur Cyril Frederick Parry	
5. Une généralisation du théorème de Collings-Lalesco	
<b>D. Cercles passant par le point de symétrie de Parry</b>	<b>29</b>
1. Un premier résultat de Jean-Pierre Ehrmann	
2. Le second résultat de Jean-Pierre Ehrmann	
<b>E. Une direction relative à un triangle inscrit</b>	<b>37</b>
<b>I. Le triangle orthique</b>	
<b>II. Le triangle inscrit est directement semblable à l'orthique</b>	
1. Construction d'un tel triangle	
2. Une équivalence	
<b>F. Annexe</b>	<b>44</b>
1. Le théorème de Beltrami	
2. Direction d'une droite de Simson	
3. Une relation de Carnot	



## POINT DE VUE

*Mieux vaut une once de pratique  
où la main devient le regard de l'âme et de l'esprit,  
qu'une tonne de théorie.*



L'auteur propose un article "in process" i.e. en construction, partie par partie.

Au rythme de cette démarche qui s'insère dans le temps, correspond une symétrie i.e. une comodulation dans l'espace publié.

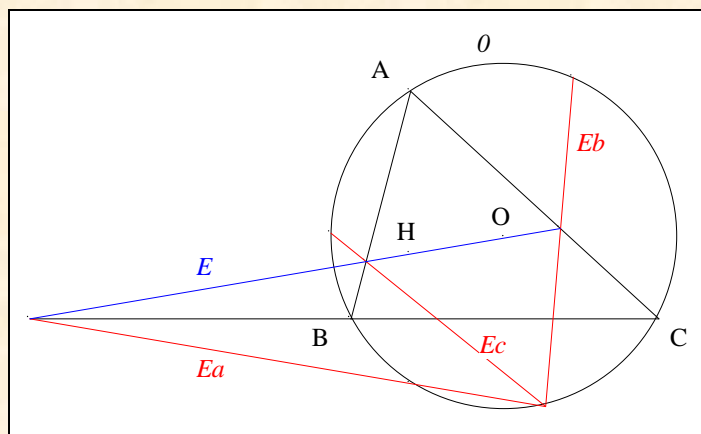
De là, l'auteur espère qu'une harmonie peut naître entre ces deux pôles, et s'exprimer dans un langage muet pour ne parler qu'au regard et non plus aux yeux.

## A. UNE DROITE RELATIVE À UN TRIANGLE

### I. LA DROITE D'EULER

#### VISION

Figure :



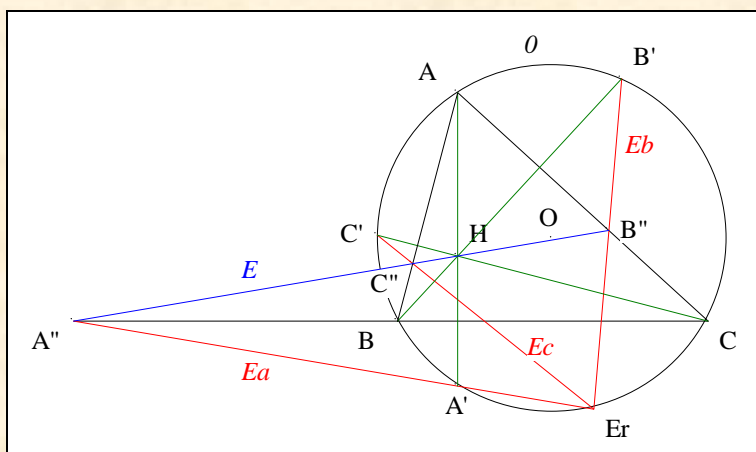
**Traits :** ABC un triangle,  
 $O$  le cercle circonscrit à ABC,  
 $O, H$  le centre de  $O$ , l'orthocentre de ABC,  
 $E$  la droite d'Euler de ABC  
 et  $Ea, Eb, Ec$  les symétriques de  $E$  resp. par rapport à  $(BC)$ ,  $(CA)$ ,  $(AB)$ .

**Donné :**  $Ea, Eb$  et  $Ec$  concourent sur  $O$ .<sup>3</sup>

**Commentaire :**  $E$  a une double contrainte : passer par  $O$  et  $H$ .

#### VISUALISATION

- **Scolie :** par définition,  $E$  est la droite  $(OH)$ .



- Notons  $A', B', C'$  les seconds points d'intersection de  $(HA), (HB), (HC)$  avec  $\odot$   
et  $A'', B'', C''$  les points d'intersection de  $E$  resp. avec  $(BC), (CA), (AB)$ .
- D'après "L'équivalence de Clawson-Ayme" <sup>4</sup>  
appliqué à la transversale  $E$  et à  $H$ ,  $(A'A''), (B'B''), (C'C'')$  concourent sur  $\odot$ .
- D'après Carnot "Symétrique de l'orthocentre par rapport à un côté" <sup>5</sup>,  
 $A'$  est le symétrique de  $H$  par rapport à  $(BC)$ .
- **Conclusion partielle :**  $(A'A'')$  et  $Ea$  sont confondus.
- Mutatis mutandis, nous montrerions que  $(B'B'')$  et  $Eb$  sont confondus  
 $(C'C'')$  et  $Ec$  sont confondus.
- **Conclusion :**  $Ea, Eb$  et  $Ec$  concourent sur  $\odot$ .

- Scolies :**
- (1) ce point de concours est, en français, "l'antipoint d'Euler de ABC"  
et en anglais "the Euler reflection point of ABC"
  - (2) Il est répertorié sous  $X_{110}$  chez ETC <sup>6</sup>

### Énoncé traditionnel :

*les symétriques de la droite d'Euler  
par rapport  
aux côtés d'un triangle,  
concourent sur  
le cercle circonscrit de ce triangle  
à l'antipoint d'Euler.*

<sup>4</sup> Ayme J.-L., La P-transversale de Q, G.G.G. vol. 3, p.8-12 ; <http://perso.orange.fr/jl.ayme>

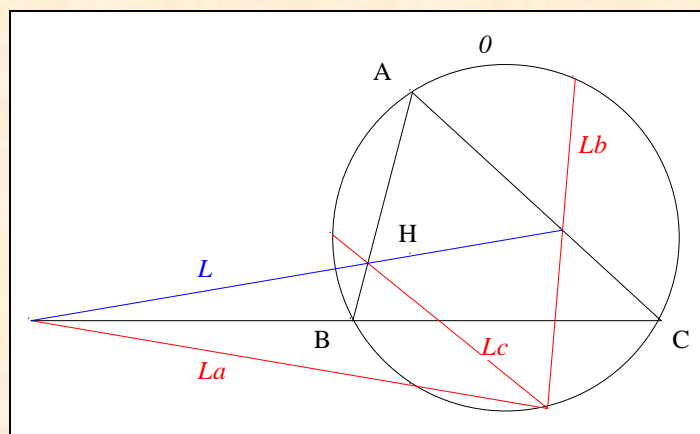
<sup>5</sup> Carnot L. N. M., n° 142, De la corrélation des figures géométriques, (1801) 101

<sup>6</sup> Kimberling c., Encyclopedia of Triangle Centers ; <http://faculty.evansville.edu/ck6/encyclopedia/ETC.html>

## II. UNE DROITE DE STEINER

### VISION

Figure :

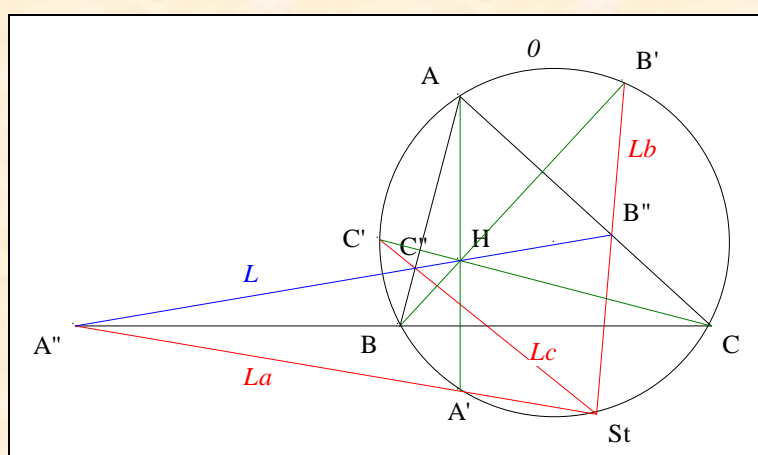


**Traits :** ABC un triangle,  
 $O$  le cercle circonscrit à ABC,  
 $H$  l'orthocentre de ABC,  
 $L$  une ménélienne  
 et  $La, Lb, Lc$  les symétriques de  $L$  resp. par rapport à  $(BC)$ ,  $(CA)$ ,  $(AB)$ .

**Donné :**  $L$  passe par  $H$  si, et seulement si,  $La, Lb$  et  $Lc$  concourent sur  $O$ .<sup>7</sup>

**Commentaire :** relâchement d'une contrainte :  $L$  passe uniquement par  $H$ .

### VISUALISATION NÉCESSAIRE



<sup>7</sup>

Steiner J.  
 Lalesco T., La Géométrie du Triangle (1937), red. Jacques Gabay Reprint (1987) 12-18 p. 99  
 Collings S. N., Reflections on a triangle, part 1, *Math. Gazette*, **57** (1973) 291–293  
 Grinberg D., Anti-Steiner points with respect to a triangle ; <http://www.cip.ifi.lmu.de/~grinberg/>  
 Pohoata C., On the Parry Reflection Point (Theorem 2), *Forum Geometricorum* vol. **8** (2008) 43-48 ;  
<http://forumgeom.fau.edu/FG2008volume8/FG200806.pdf>

- **Hypothèse :**  $L$  passe par  $H$ .
- Notons  $A', B', C'$  les seconds points d'intersection de  $(HA), (HB), (HC)$  avec  $\theta$   
et  $A'', B'', C''$  les points d'intersection de  $L$  resp. avec  $(BC), (CA), (AB)$ .
- D'après "L'équivalence de Clawson-Ayme"<sup>8</sup>  
appliqué à la transversale  $L$  et à  $H$ ,  $(A'A''), (B'B''), (C'C'')$  concourent sur  $\theta$ .
- D'après Carnot "Symétrique de l'orthocentre par rapport à un côté"<sup>9</sup>,  
 $A'$  est le symétrique de  $H$  par rapport à  $(BC)$ .
- **Conclusion partielle :**  $(A'A'')$  et  $L_a$  sont confondus.
- Mutatis mutandis, nous montrerions que  $(B'B'')$  et  $L_b$  sont confondus  
 $(C'C'')$  et  $L_c$  sont confondus.
- **Conclusion :**  $L_a, L_b$  et  $L_c$  concourent sur  $\theta$ .
- Notons  $St$  ce point de concours.

- Scolies :**
- (1) les symétriques de  $St$  par rapport à  $(BC), (CA), (AB)$  étant sur  $L$ ,  
 $L$  est "la droite de Steiner de pôle  $St$ ".<sup>10</sup>
  - (2) En français,  $St$  est "l'antipoint de Steiner de  $ABC$ "  
en anglais "the anti Steiner point of  $ABC$ ".

**Énoncé traditionnel :**

*les symétriques d'une droite de Steiner  
par rapport  
aux côtés d'un triangle,  
concourent sur  
le cercle circonscrit de ce triangle  
à l'antipoint de Steiner.*

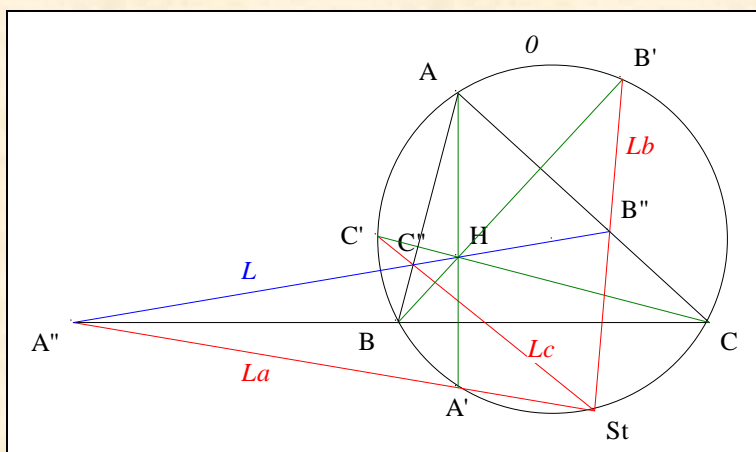
**VISUALISATION SUFFISANTE**

<sup>8</sup> Ayme J.-L., La P-transversale de Q, G.G.G. vol. 3, p.8-12 ; <http://perso.orange.fr/jl.ayme>

<sup>9</sup> Carnot L. N. M., n° 142, *De la corrélation des figures géométriques*, (1801) 101

<sup>10</sup> Ayme J.-L., La droite de Simson de pôle  $Fe$  relativement au triangle de contact, G.G.G. vol. 7, p.7-12 ;  
<http://perso.orange.fr/jl.ayme>





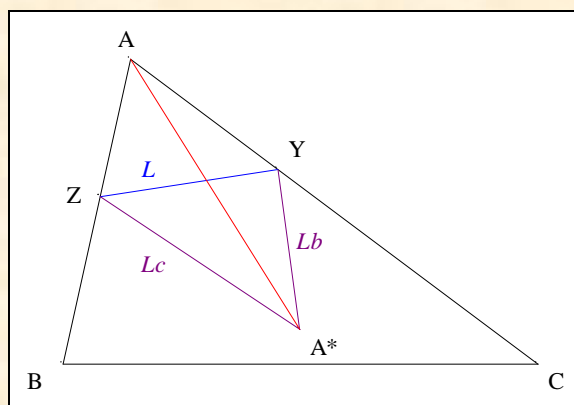
- **Hypothèse :**  $La, Lb$  et  $Lc$  concourent sur  $O$ .
- Notons  $A', B', C'$  les seconds points d'intersection de  $(HA), (HB), (HC)$  avec  $O$   
et  $A'', B'', C''$  les points d'intersection de  $L$  resp. avec  $(BC), (CA), (AB)$ .
- **Conclusion :** d'après "L'équivalence de Clawson-Ayme"<sup>11</sup> appliqué à la transversale  $L$  et aux  $(A'A''), (B'B''), (C'C'')$  concourent sur  $O$ ,  $L$  passe par  $H$ .

### III. UNE MÉNÉLIENNE

#### 1. Un lemme

#### VISION

Figure :



**Traits :**  $ABC$  un triangle,  
 $L$  une ménélienne,  
 $Y, Z$  les points d'intersection de  $L$  resp. avec  $(AC), (AB)$ ,  
 $Lb, Lc$  les symétriques de  $L$  resp. par rapport à  $(AC), (AB)$   
et  $A^*$  le point d'intersection de  $Lb$  et  $Lc$ .

**Donné :**  $(A^*A)$  est la  $A^*$ -bissectrice intérieure du triangle  $A^*YZ$ .<sup>12</sup>

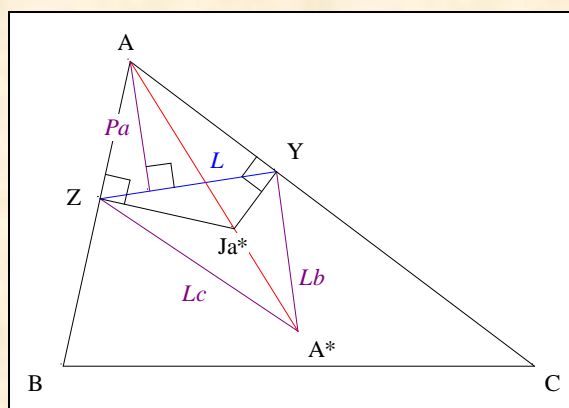
<sup>11</sup> Ayme J.-L., La P-transversale de Q, G.G.G. vol. 3, p.8-12 ; <http://perso.orange.fr/jl.ayme>

**Commentaire :** ce lemme et ses conséquences permettent de présenter une preuve aérée du théorème de Stanley Norman Collings – Trajan Lalesco.

### VISUALISATION

- Par définition,  $A$  est le  $A^*$ -excentre de  $A^*YZ$ .
- **Conclusion :**  $(A^*A)$  est la  $A^*$ -bissectrice intérieure de  $A^*YZ$ .

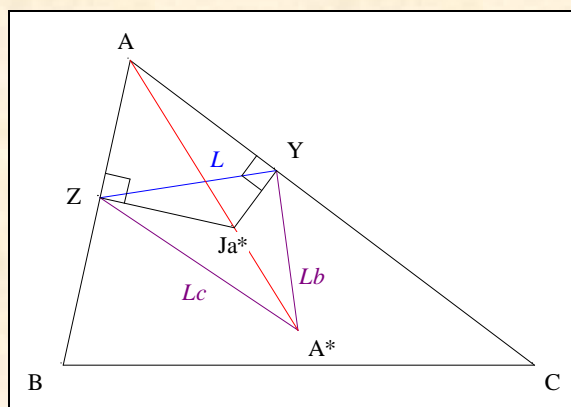
**Scolies :** (1) l'isogonale  $Pa$



- Notons  $Ja^*$  le centre de  $A^*YZ$   
et  $Pa$  la perpendiculaire à  $(YZ)$  issue de  $A$ .
- D'après Simon L'Huilier,  $Ja^*$  est sur  $(AA^*)$ .
- Nous avons :  $(AY) \perp (Ja^*Y)$  et  $(AZ) \perp (Ja^*Z)$ .
- **Conclusion :** par définition,  $Pa$  est la  $A$ -isogonale de  $(AA^*)$  relativement au triangle  $AYZ$  ou  $ABC$ .

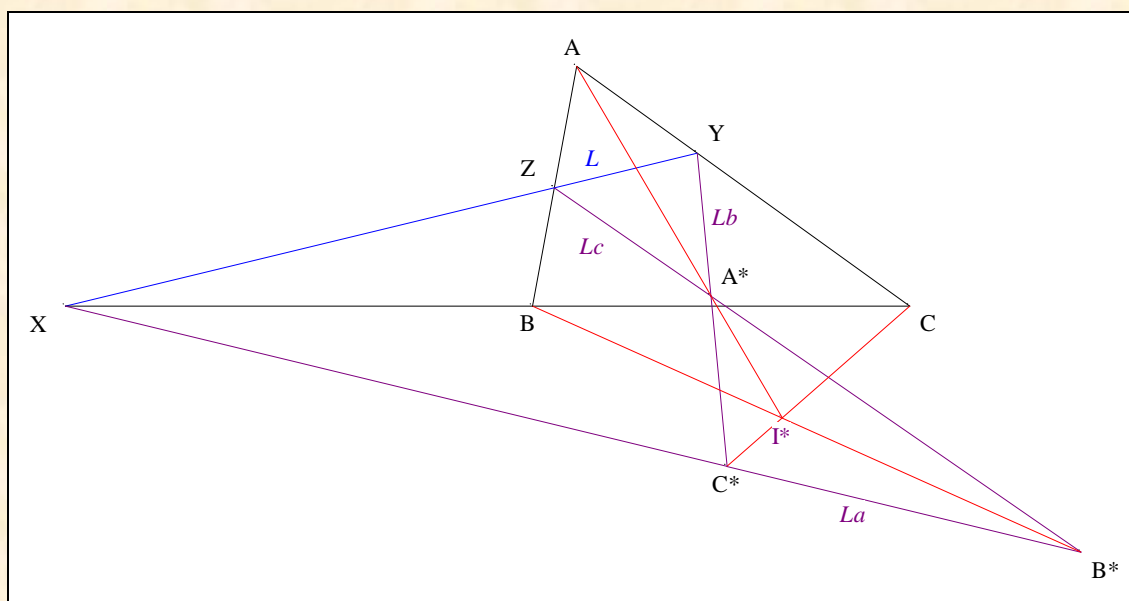
(2) Une évaluation angulaire





- Par une autre écriture,  $\angle BAC = \angle ZAY$
- Le quadrilatère  $AYA^*Z$  étant cyclique,  $\angle ZAY + \angle YJa^*Z = \Pi$
- Par culture géométrique,  $\angle YJa^*Z = \Pi/2 + \frac{1}{2} \angle YA^*Z$
- **Conclusion :** par substitution et simplification,  $\angle YA^*Z = \Pi - 2 \angle BAC$ .

### (3) Vision triangulaire



- Notons  $Z$  les point d'intersection de  $L$  avec  $(BC)$ ,  
 $La$  la symétrique de  $L$  par rapport à  $(BC)$ ,  
 $B^*, C^*$  les points d'intersection de  $Lc$  et  $La$ ,  $La$  et  $Lb$ ,  
et  $I^*$  le centre du triangle  $A^*B^*C^*$ .
- Mutatis mutandis, nous montrerions que
  - \*  $(A^*A)$  est la  $A^*$ -bissectrice intérieure de  $A^*YZ$  ou de  $A^*B^*C^*$
  - \*  $(B^*B)$  est la  $B^*$ -bissectrice intérieure de  $B^*ZX$  ou de  $A^*B^*C^*$
  - \*  $(C^*C)$  est la  $C^*$ -bissectrice intérieure de  $C^*XY$  ou de  $A^*B^*C^*$ .
- **Conclusion :**  $(A^*A), (B^*B), (C^*C)$  concourent en  $I^*$ .

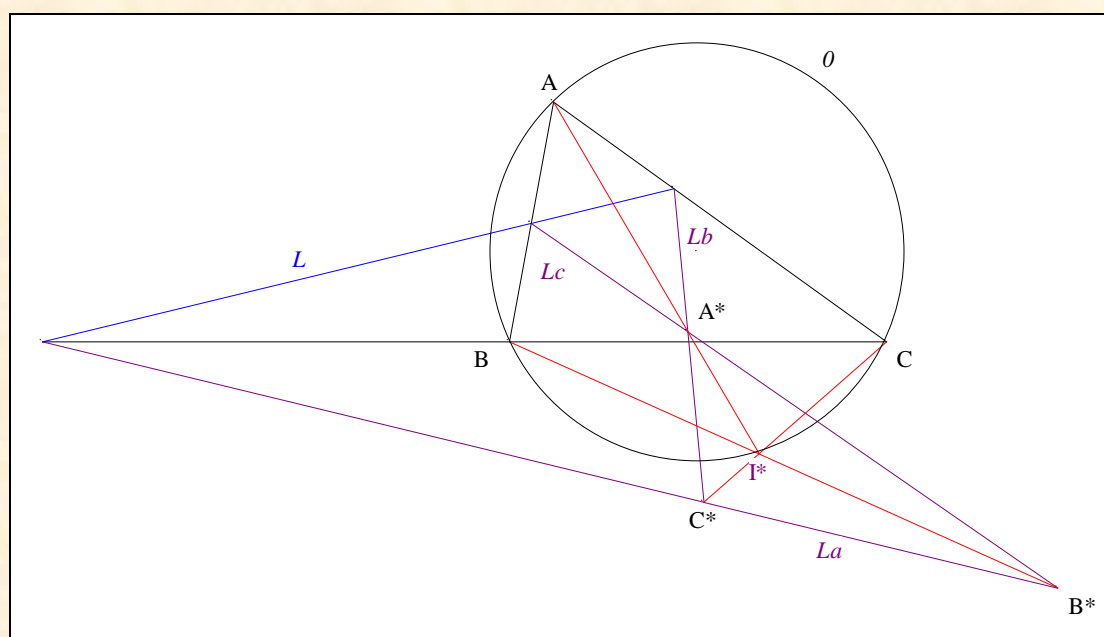


(5)  $Pa, Pb$  et  $Pc$  sont parallèles entre elles.

## 2. Le théorème de Collings-Lalesco

### VISION

Figure :



**Traits :**       $ABC$                   un triangle,  
                    $O$                         le cercle circonscrit à  $ABC$ ,  
                    $L$                             une ménélienne,  
                    $La, Lb, Lc$                 les symétriques de  $L$  resp. par rapport à  $(BC), (CA), (AB)$   
                    $A^*, B^*, C^*$                 les points d'intersection de  $Lb$  et  $Lc, Lc$  et  $La, La$  et  $Lb$ ,  
                   et       $I^*$                         le centre du triangle  $A^*B^*C^*$ .

**Donné :**       $I^*$  est sur  $O$ .<sup>13</sup>

**Commentaire :** il n'y a plus de contrainte sur  $L$ .

Nous assistons à la naissance d'un triangle qui était caché dans le point de concours.  
 Que représentait ce point de concours...

<sup>13</sup>

Lalesco T., La Géométrie du Triangle (1937), red. Jacques Gabay Reprint (1987) 12-18 p. 99

Hatzipolakis A., Message *Hyacinthos* # 16731 du 02/09/2008 ;

<https://groups.yahoo.com/neo/groups/Hyacinthos/conversations/topics/16730>

The incenter lies on circumcircle [Iran Second round 95 ], AoPS du 25/11/2010 ;

<http://www.artofproblemsolving.com/Forum/viewtopic.php?f=47&t=379391>

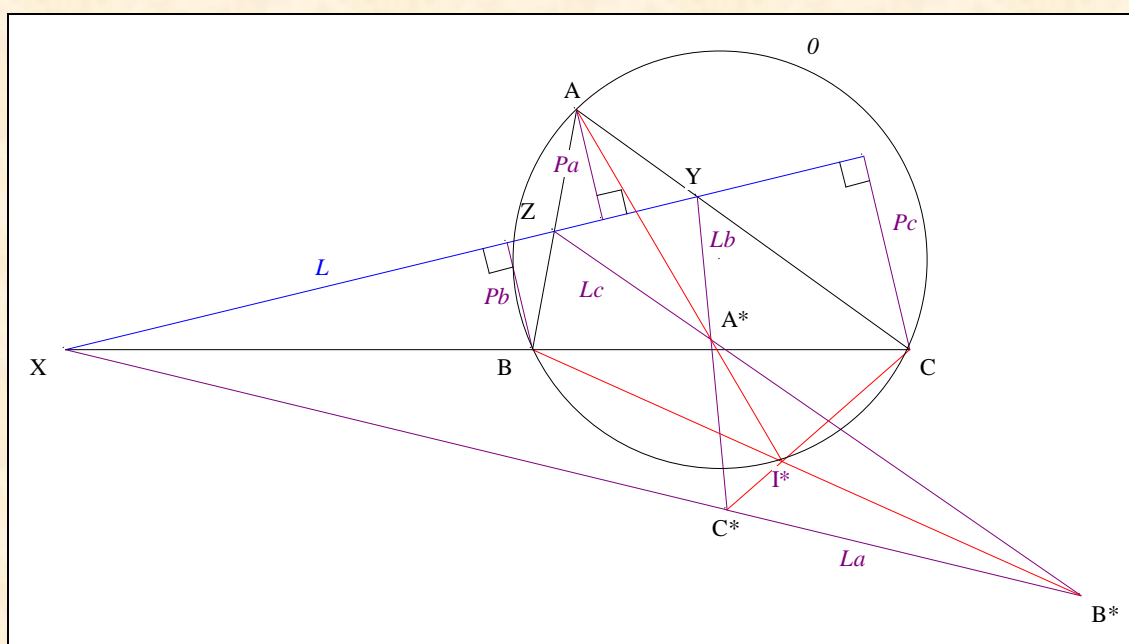
Pohoata C., On the reflections of a line wrt the sidelines of a triangle, AoPS du 29/07/2011 ;

<http://www.artofproblemsolving.com/Forum/viewtopic.php?f=47&t=421236>

I think this is a very famous problem but I can't find it ; on the search. Related to IMO problem 6 (2012?), AoPS du 20/12/2013 ;

<http://www.artofproblemsolving.com/Forum/viewtopic.php?f=46&t=567900>

## VISUALISATION



- Notons  $X, Y, Z$  les point d'intersection de  $L$  resp. avec  $(BC), (AC), (AB)$   
et  $Pa, Pb, Pc$  les perpendiculaires à  $(YZ), (ZX), (XY)$  issues resp. de  $A, B, C$ .
- D'après A. III. 1.
  - \* scolie 1,  $Pa, Pb, Pc$  sont les  $A, B, C$ -isogonales de  $(AA^*), (BB^*), (CC^*)$  de  $ABC$
  - \* scolie 3,  $(A^*A), (B^*B), (C^*C)$  concourent en  $I^*$
  - \* Scolie 5,  $Pa, Pb$  et  $Pc$  sont parallèles entre elles.
- D'après "Le théorème de Beltrami" (Cf D. Annexe 1),  $(A^*A), (B^*B)$  et  $(C^*C)$  concourent sur  $O$ .
- Conclusion :  $I^*$  est sur  $O$ .

**Note historique :** ce résultat se trouve dans le livre de Trajan Lalesco <sup>14</sup> datant avant 1916.

### 3. Une courte biographie de Trajan Lalesco



<sup>14</sup>

Lalesco T., La Géométrie du Triangle (1937), red. Jacques Gabay Reprint (1987) 12-18 p. 99

Trajan Lalesco est né le 12 juillet 1882 à Bucarest (Roumanie).

Élève du lycée Carol I de Craiova, puis de ceux de Roman et d'Iasi, il entre à l'université d'Iasi et termine ses études à celle de Bucarest en 1903.

En 1908, il obtient son Ph. D. en mathématiques à l'université de Paris en 1908 sous la direction d'Émile Picard. C'est son livre intitulé *La Géométrie du Triangle* datant de 1916 qui le fait connaître des géomètres lors de sa première édition en 1937, suivie d'une seconde en 1952.

Professeur à l'université de Bucarest, puis à l'École Polytechnique de Timisoara, il dirige en 1921 l'École Polytechnique de Bucarest.

Il décède le 15 juin 1929 à Bucarest à l'âge de 47 ans.



Une rue à Timisoara, un concours de mathématiques pour étudiants de premier cycle porte son nom.

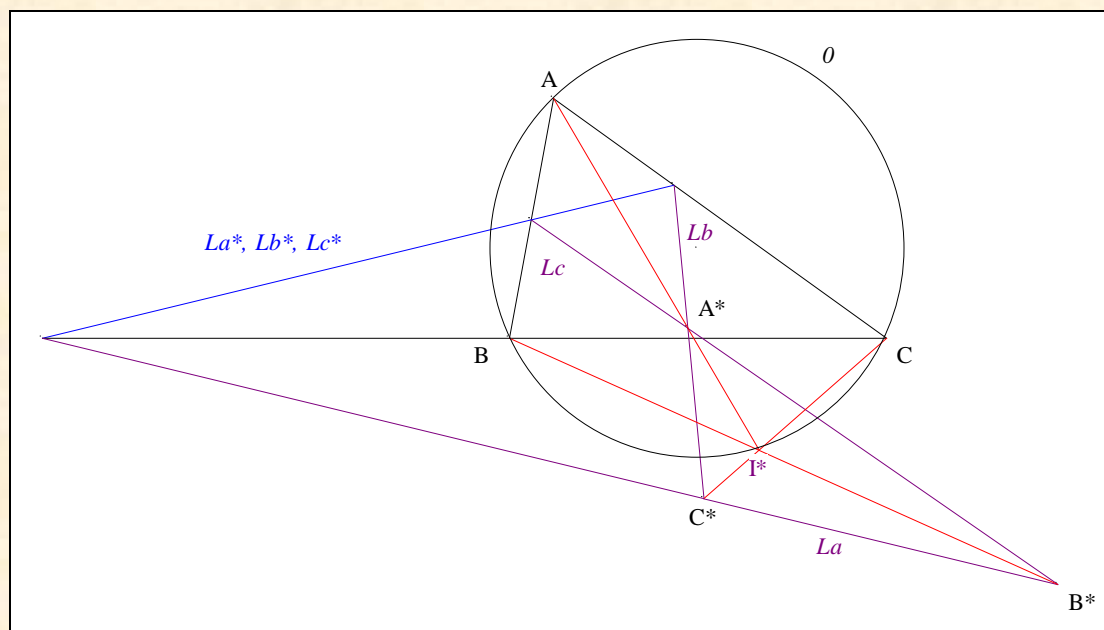
Une statue en son honneur, sculptée en 1930 par Cornel Medrea, a été érigée située en face de la faculté de génie mécanique de Timișoara.

En 1987, l'anglais Stanley Norman Collings redécouvre le résultat de Trajan Lalesco, celui-ci n'ayant donné aucun renseignement sur son origine... La recherche historique des origines n'est donc pas terminée...

#### 4. Une réciproque

### VISION

**Figure :**



**Traits :**  $A^*B^*C^*$  un triangle,  
 $I^*$  le centre du triangle  $A^*B^*C$ ,  
 $O$  un cercle passant par  $I^*$ ,  
 $A, B, C$  les seconds points d'intersection de  $(A^*I^*)$ ,  $(B^*I^*)$ ,  $(C^*I^*)$   
 et  $La^*, Lb^*, Lc^*$  les symétriques de  $(B^*C^*)$ ,  $(C^*A^*)$ ,  $(A^*B^*)$  par rapport à  $(BC)$ ,  $(CA)$ ,  $(AB)$ .

**Donné :**  $La^*, Lb^*$  et  $Lc^*$  sont confondus. <sup>15</sup>

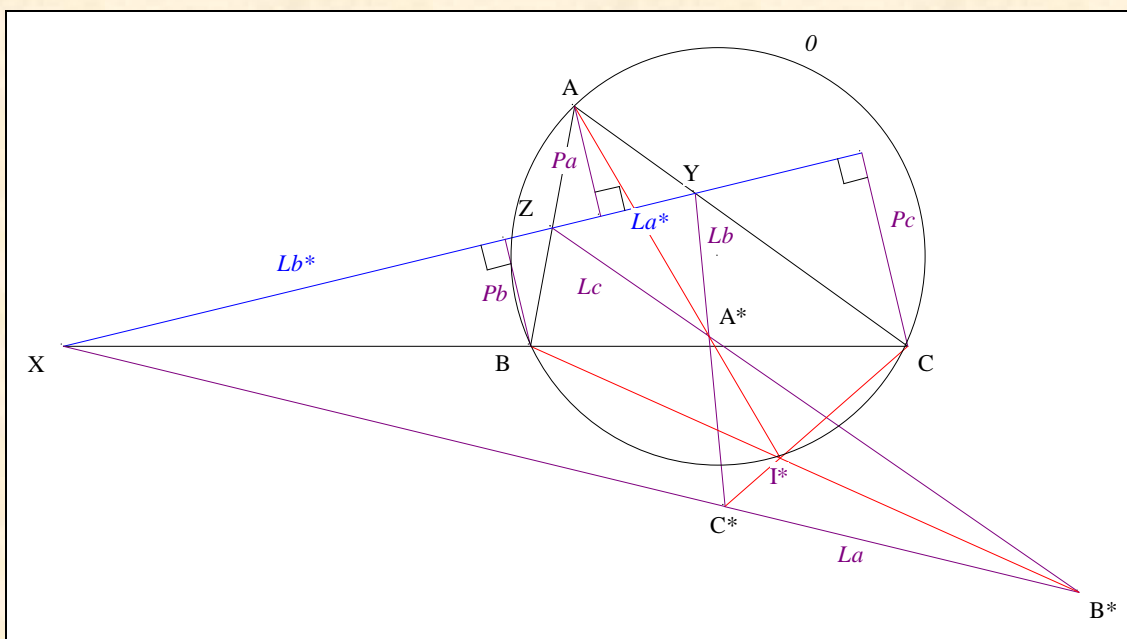
**Commentaire :** la réciproque d'un théorème est souvent occultée. Elle permet pourtant de résoudre de nombreux problèmes.

## VISUALISATION

<sup>15</sup>

Reverse of a known theorem of geometry, AoPS du 06/06/2014 ;  
<http://www.artofproblemsolving.com/Forum/viewtopic.php?f=47&t=592615>  
<https://groups.yahoo.com/neo/groups/Hyacinthos/conversations/messages/22387>





- Notons  $X, Y, Z$  les point d'intersection de  $(B^*C^*)$  et  $(BC)$ ,  $(C^*A^*)$  et  $(CA)$ ,  $(A^*B^*)$  et  $(AB)$ ,  
et  $Pa, Pb, Pc$  les perpendiculaire à  $(YZ)$ ,  $(ZX)$ ,  $(XY)$  issues de  $A, B, C$ .
- **Scolies :**  $La^* = (YZ)$  ,  $Lb^* = (ZX)$  ,  $Lc^* = (XY)$ .
- En s'inspirant de la démarche présentée en **A. III. 1.**,  
nous montrerions que  $Pa$  est la A-isogonale de  $(AA^*)$  relativement à  $ABC$   
 $Pb$  est la B-isogonale de  $(BB^*)$  relativement à  $ABC$   
 $Pc$  est la C-isogonale de  $(CC^*)$  relativement à  $ABC$ .
- D'après **A. III. 1. Scolie 2**,  $(A^*A)$ ,  $(B^*B)$  et  $(C^*C)$  concourent en  $I^*$  i.e sur  $O$ .
- D'après "Le théorème de Beltrami" (Cf. **D. Annexe 1**),  $Pa, Pb$  et  $Pc$  sont parallèles entre elles.
- Nous avons :  
par construction,  $Pa \parallel Pb$   
la relation  $(YZ) \perp Pa$  ,  $Pb \perp (ZX)$   
d'après le postulat d'Euclide,  $(YZ) \parallel (ZX)$   
en conséquence,  $(YZ) \perp (ZX)$   
 $X, Y$  et  $Z$  sont alignés.
- **Conclusion :**  $La^*, Lb^*$  et  $Lc^*$  sont confondus.

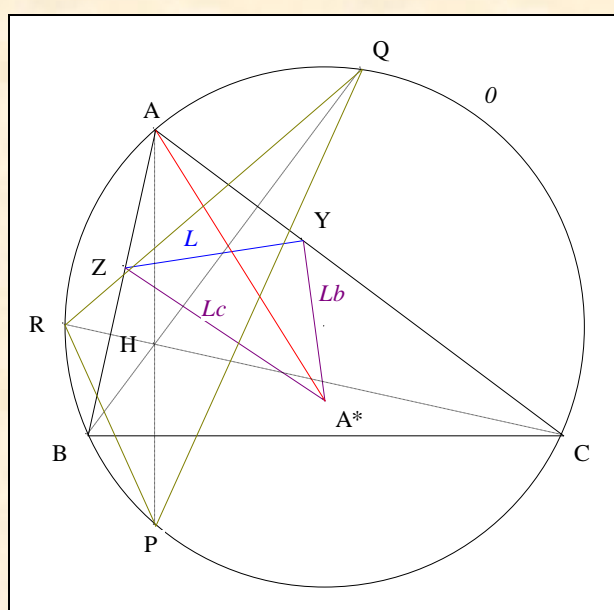
## B. LE TRIANGLE $A^*B^*C^*$ OU DE LALESCO

**Commentaire :** marquons une pause pour s'intéresser au triangle  $A^*B^*C^*$ .

### 1. Le triangle circumorthique

#### VISION

**Figure :**

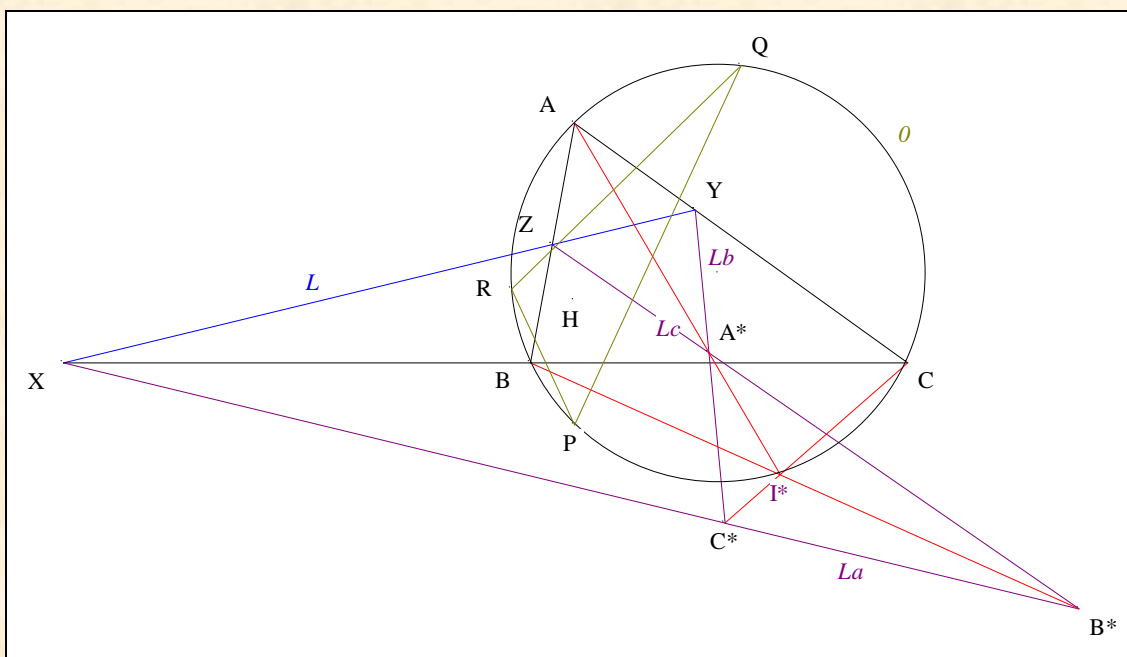


<b>Traits :</b>	ABC	un triangle,
	$L$	une ménélienne,
	Y, Z	les point d'intersection de $L$ resp. avec (AC), (AB),
	$Lb, Lc$	les symétriques de $L$ resp. par rapport à (AC), (AB),
	$A^*$	le point d'intersection de $Lb$ et $Lc$ ,
	$O$	le cercle circonscrit à ABC
	H	l'orthocentre de ABC
et	PQR	le triangle circumorthique de ABC.
<b>Donné :</b>	$\angle QPR = \angle YA^*Z$ .	

**Commentaire :** H est le centre des triangles orthique et circumorthique.

#### VISUALISATION





- Les notations sont les mêmes que précédemment.
- Mutatis mutandis, nous montrerions que
 

$\langle QPR = \langle C^*A^*B^*$   
 $\langle RQP = \langle A^*B^*C^*$   
 $\langle PRQ = \langle B^*C^*A^*$ .
- **Conclusion :**  $A^*B^*C^*$  est semblable à  $PQR$ .

**Scolie :**  $A*B*C^*$  est "Le triangle de Lalesco de ABC". <sup>16</sup>

## 2. Deux parallèles

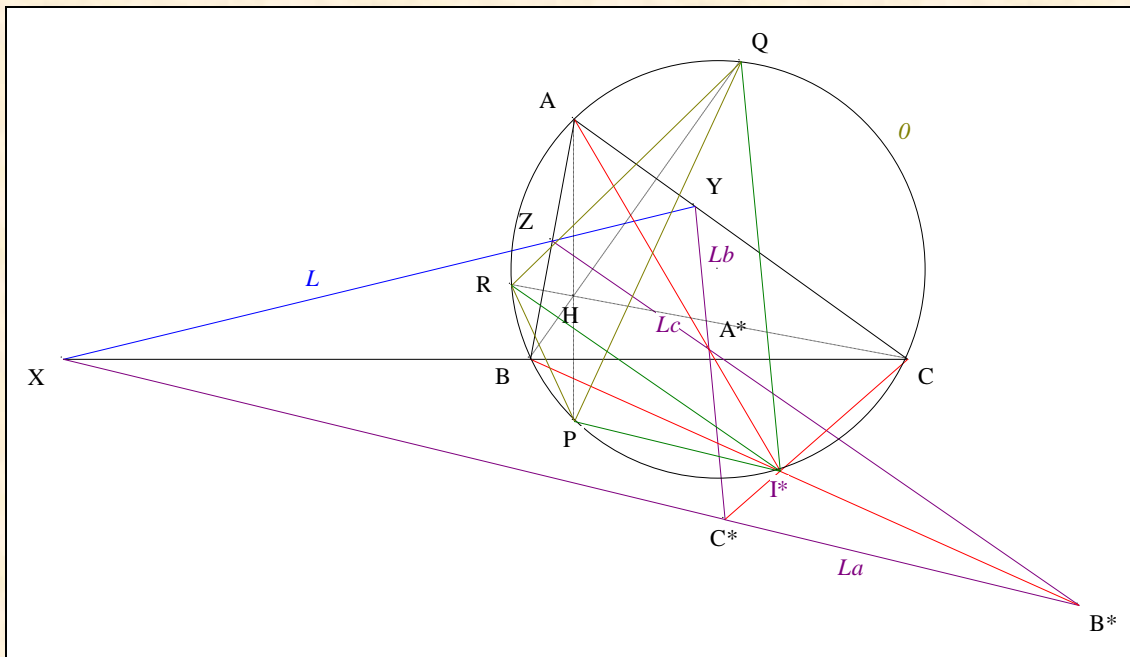
## VISION

**Figure :**

<sup>16</sup> Pour le surprenant résultat que Cosmin Pohoata a trouvé.



**Scolie :** autres parallèles

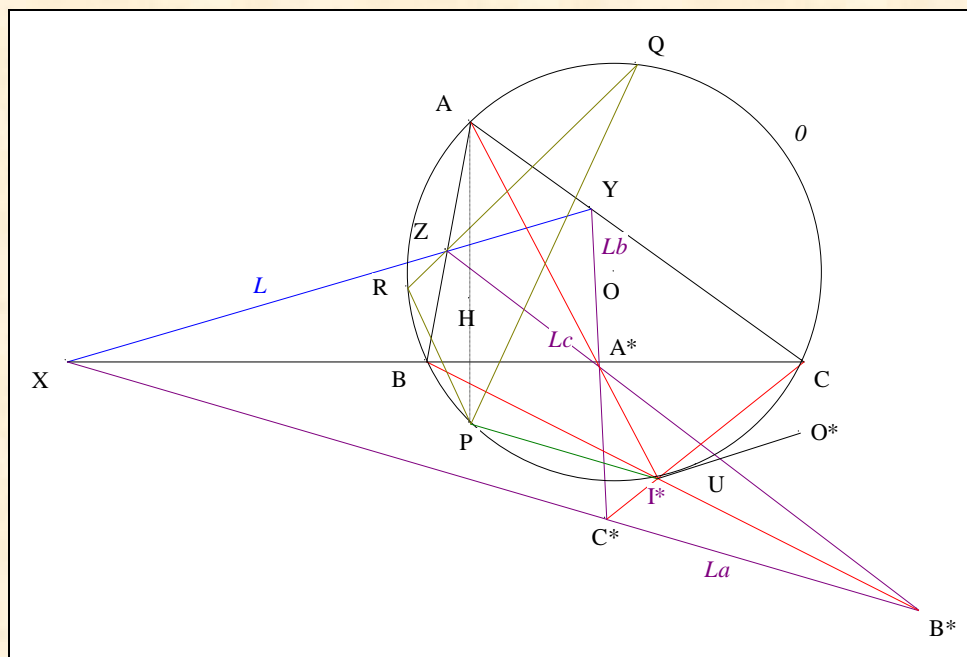


- **Conclusion :** mutatis mutandis, nous montrerions que  $(QI^*)$  est parallèle à  $(C^*A^*)$   
 $(RI^*)$  est parallèle à  $(A^*B^*)$ .

### 3. La redécouverte de Cosmin Pohoata

#### VISION

**Figure :**



**Traits :** aux hypothèses et notations précédentes, nous ajoutons

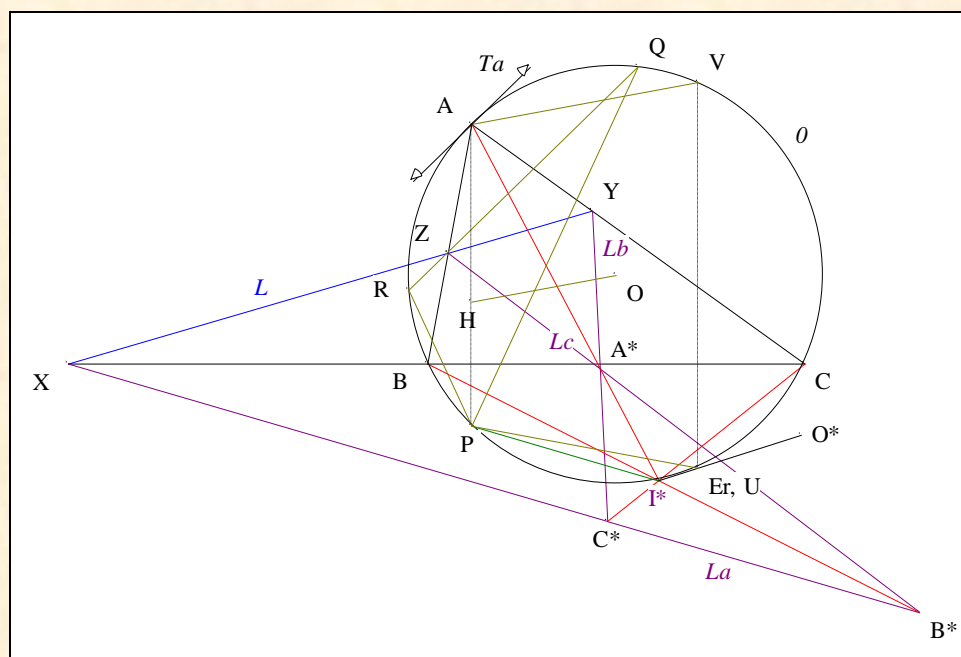


$O$  le centre de  $\theta$ ,  
 $O^*$  le centre du cercle circonscrit à  $A^*B^*C^*$   
 et  $U$  le second point d'intersection de  $(I^*O^*)$  avec  $\theta$ .

**Donné :**  $U$  est l'antipoint d'Euler de  $ABC$ .<sup>18</sup>

**Commentaire :**

### VISUALISATION



- Notons  $Er$  l'antipoint d'Euler de  $ABC$ ,  
 et  $V$  le second point d'intersection de la perpendiculaire à  $(BC)$  issue de  $Er$   
 et  $Ta$  la tangente à  $\theta$  en  $A$ .
- D'après Heinen "Direction d'une droite de Simson" (Cf. **D. Annexe 2**),  $(AV) \parallel (OH)$ .
- Scolie :**  $Ta \parallel (QR)$ .
- Une chasse angulaire :
  - \*  $PQR$  et  $A^*B^*C^*$  étant semblables,  $\angle(OH), (QR) = \angle(O^*I^*), (B^*C^*)$
  - \* par parallélisme,  $\angle(OH), (QR) = \angle(AV), Ta$   
 $\angle(O^*I^*), (B^*C^*) = \angle(O^*I^*), (PI^*)$
  - \* en conséquence,  $AV = PU$
  - \* le quadrilatère cyclique  $APUV$  étant un trapèze,  $(UV) \perp (BC)$
  - \* il s'en suit que  $U$  et  $Er$  sont confondus.

<sup>18</sup> Pohoata C., On the reflections of a line wrt the sidelines of a triangle, AoPS du 29/07/2011 ;  
<http://www.artofproblemsolving.com/Forum/viewtopic.php?f=47&t=421236>

- **Conclusion :**  $U$  est l'antipoint d'Euler de  $ABC$ .

**Note historique :** ce résultat sans référence se trouve dans le livre de Trajan Lalesco <sup>19</sup> datant avant 1916.

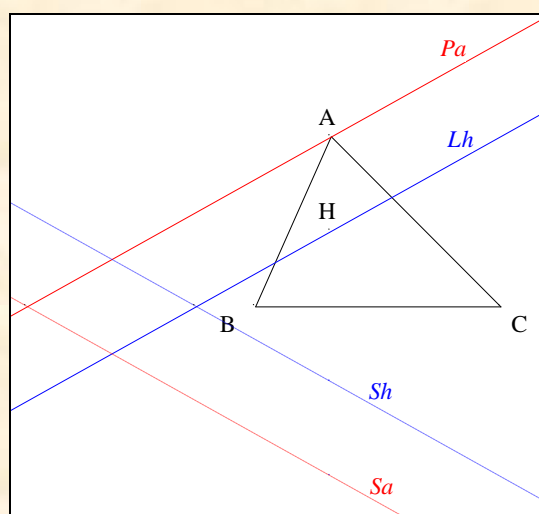
### C. UNE DIRECTION RELATIVE À UN TRIANGLE

**Commentaire :** la droite  $L$  est remplacée par sa direction...

#### 1. Une droite de Steiner parallèle à une céviene

##### VISION

**Figure :**



**Traits :**  $ABC$  un triangle,  
 $H$  l'orthocentre de  $ABC$ ,  
 $Lh$  une  $H$ -ménélienne de  $ABC$ ,  
 $Pa$  la  $A$ -céviene de  $ABC$  parallèle à  $Lh$   
 et  $Sa, Sh$  les symétriques resp. de  $Pa, Lh$  par rapport à  $(BC)$ .

**Donné :**  $Sa$  est parallèle à  $Sh$ .

**Commentaire :** la preuve est laissée aux bons soins du lecteur.

**Énoncé traditionnel :**

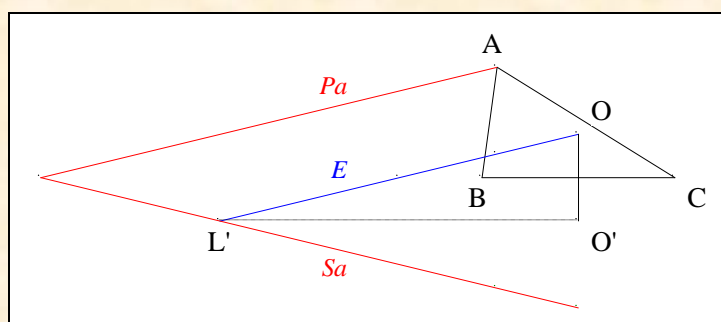
<sup>19</sup> Lalesco T., La Géométrie du Triangle (1937), red. Jacques Gabay Reprint (1987) 12-9 p. 94 et 12-18 p. 99

*les symétriques de deux droites parallèles  
par rapport à une droite  
sont parallèles.*

## 2. Cas où $Lh$ est la droite d'Euler

### VISION

Figure :

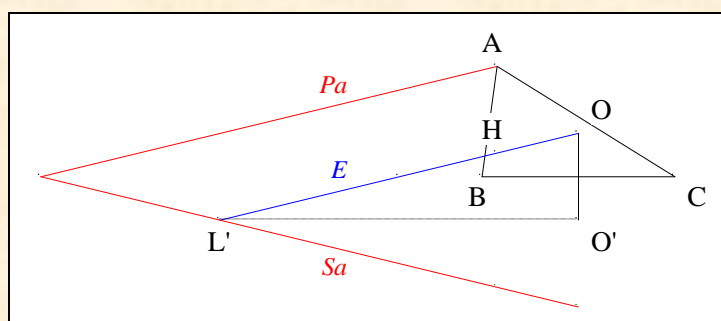


**Traits :** ABC un triangle,  
O le centre du cercle circonscrit à ABC,  
E la droite d'Euler de ABC,  
Pa la A-céviennne de ABC parallèle à E,  
Sa la symétrique de Pa par rapport à (BC),  
L' le point d'intersection de Sa et E,  
et O' le symétrique de O par rapport à (BC).

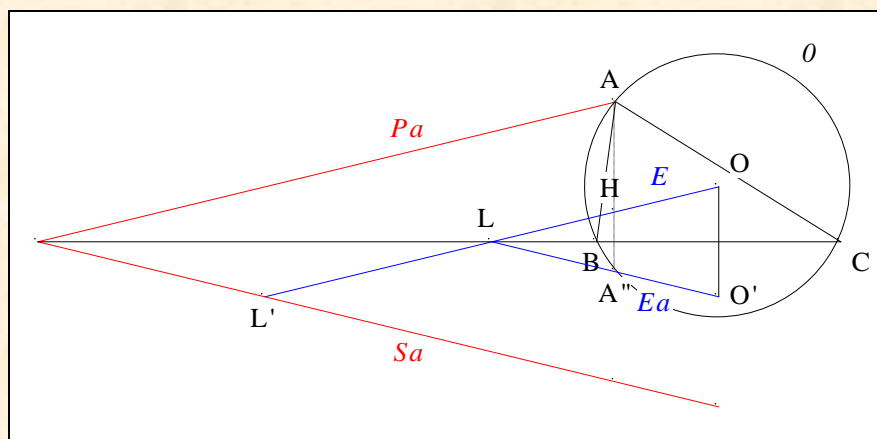
**Donné :** Sa est la symétrique de E par rapport à (L'O').

**Commentaire :** recherche de l'axe de symétrie entre E et Sa.

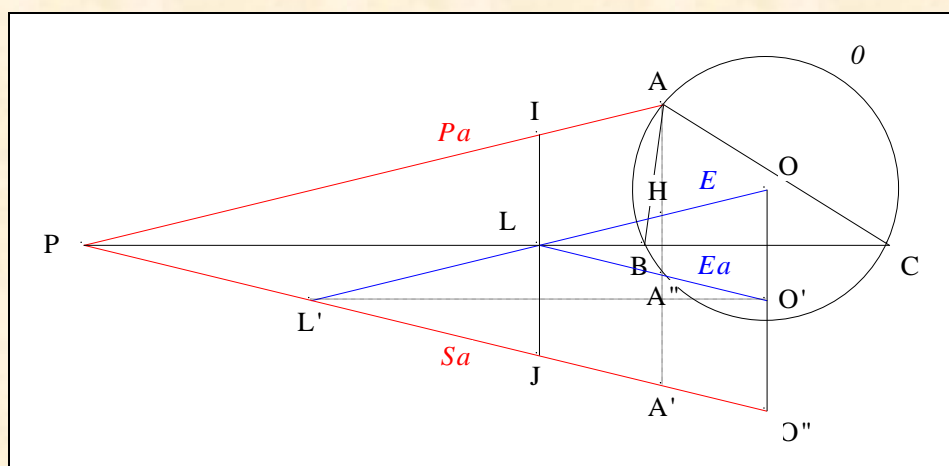
### VISUALISATION



- Notons H l'orthocentre de ABC,
- **Scolie :** par définition, E est la droite (OH).



- Notons  $L$  les points d'intersection de  $E$  et  $(BC)$ ,  
 $O$  le cercle circonscrit à  $ABC$ ,  
 $A''$  le A-point circumorthique de  $ABC$   
 et  $Ea$  la symétrique de  $E$  par rapport à  $(BC)$ .
- D'après Carnot "Symétique de H par rapport à un côté"<sup>20</sup>,  $A''$  est le symétrique de H par rapport à  $(BC)$  ;  
 en conséquence,  $Ea = (LA''O')$ .
- **Conclusion partielle** : d'après C. 1,  $Ea \parallel Sa$ .



- Notons  $P$  le point d'intersection de  $Pa$  avec  $(BC)$ ,  
 $A'$  le symétrique de  $A$  par rapport à  $(BC)$   
 et  $O''$  le point d'intersection de  $(OO')$  et  $Sa$ .
- Par définition de  $Sa$ ,  $P$  est sur  $Sa$ .
- Notons  $I, J$  les points d'intersection de la parallèle à  $(AH)$  passant par  $L$  avec  $Pa, Sa$ ,
- Par construction,  
 par définition d'une symétrie axiale,  
 le quadrilatère  $AILH$  étant un parallélogramme,  
 d'après Carnot "Une relation" (Cf. D. Annexe 3),  
 par transitivité de la relation =,  
 en conséquence,  
 $O'O'' = LJ$  ;  
 $LJ = LI$  ;  
 $IL = AH$  ;  
 $AH = OO'$  ;  
 $O'O'' = OO'$  ;  
 $O'$  est le milieu de  $[OO'']$ .
- $(L'O')$  est la  $L'$ -médiatrice du triangle  $L'$ -isocèle  $L'O''O$ ,

<sup>20</sup>

Carnot L. N. M., n° 142, *De la corrélation des figures géométriques*, (1801) 101

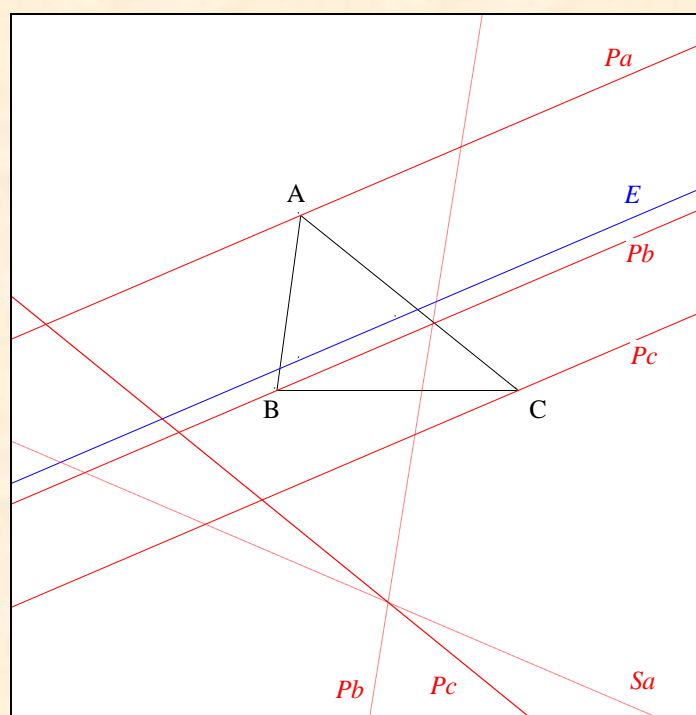
- **Conclusion :** par définition d'une symétrie axiale,  
 $Sa = (L'O'')$  est la symétrique de  $E = (L'O)$  par rapport à  $(L'O')$ .

**Scolie :**  $(L'O') \parallel (LC)$ .

### 3. Le point de symétrie de Parry

#### VISION

**Figure :**



**Traits :**  $ABC$  un triangle,  
 $E$  la droite d'Euler de  $ABC$ ,  
 $Pa, Pb, Pc$  trois céviennes de  $ABC$  passant resp. par  $A, B, C$   
 et  $Sa, Sb, Sc$  les symétriques de  $Pa, Pb, Pc$  resp. par rapport à  $(BC), (CA), (AB)$ .

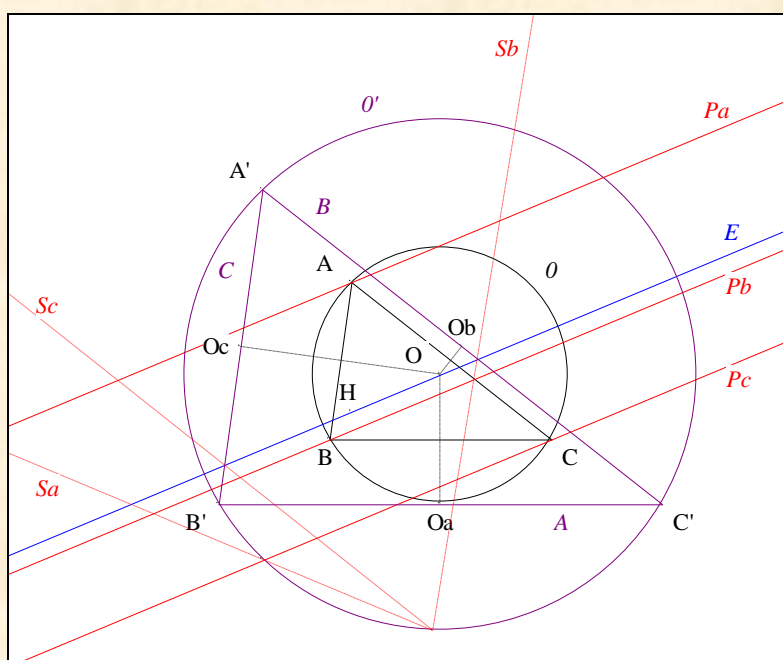
**Donné :**  $Pa, Pb$  et  $Pc$  sont parallèles à  $E$  si, et seulement si,  $Sa, Sb$  et  $Sc$  sont concourantes.<sup>21</sup>

**Commentaire :** les sommets du triangle sont mis en œuvre.

#### VISUALISATION NÉCESSAIRE

<sup>21</sup>

Parry C. P., Problème **10637**, *American Mathematical Monthly* vol.**105**, **1** (1998) 68  
 Solution with complex : Young R.L., *Amer. Math. Monthly*, **106** (1999) 779–780  
 Pohoata C., On the Parry Reflection Point (Theorem **1**), *Forum Geometricorum* vol. **8** (2008) 43–48 ;  
<http://forumgeom.fau.edu/FG2008volume8/FG200806.pdf>



- **Hypothèse :**  $Pa$ ,  $Pb$  et  $Pc$  sont parallèles à  $E$ .
- Notons
 

$H$	l'orthocentre de $ABC$ ,
$O$	le cercle circonscrit à $ABC$ ,
$O$	le centre de $O$ ,
$Oa, Ob, Oc$	les symétriques de $O$ par rapport à $(BC)$ , $(CA)$ , $(AB)$ ,
$A, B, C$	les parallèles à $(BC)$ , $(CA)$ , $(AB)$ passant resp. par $Oa, Ob, Oc$ ,
$A', B', C'$	les points d'intersection resp. de $B$ et $C$ , $C$ et $A$ , $A$ et $B$ ,
et $O'$	le cercle circonscrit au triangle $A'B'C'$ .
- **Scolie :**  $E$  est la droite  $(OH)$ .
- Le triangle  $A'B'C'$  étant homothétiques à  $ABC$  (centre  $O$ , rapport 2),  $E$  est leur commune droite d'Euler.
- D'après **C. 2**,  $Sa, Sb$  et  $Sc$  sont les symétriques de  $E$  resp. par rapport à  $A, B, C$ .
- **Conclusion :** d'après **A. II**. Une droite de Steiner,  $Sa, Sb$  et  $Sc$  concourent sur  $O'$ .

### VISUALISATION SUFFISANTE

- **Hypothèse :**  $Sa, Sb$  et  $Sc$  sont concourantes
- Raisonnons par l'absurde en affirmant que l'une au moins des droites  $Pa, Pb$  et  $Pc$  n'est pas parallèle à  $E$  ; par exemple,  $Pa$  n'est pas parallèle à  $Pb$ , mais  $Pb$  et  $Pc$  le sont à  $E$ .
- Notons
 

$P'a$	la A-cévienne parallèle à $E$ (elle est distincte de $Pa$ )
et $S'a$	la symétrique de $Pa$ par rapport à $(BC)$ .
- D'après la visualisation nécessaire,
 

$S'a, Sb$ et $Sc$ concourent sur $O'$ ;
$Sa, Sb$ et $Sc$ concourent sur $O'$ ;
$Sa$ et $S'a$ sont confondues ;
$Pa$ et $P'a$ sont confondues,

 ce qui est contradictoire.
- **Conclusion :**  $Pa, Pb$  et  $Pc$  sont parallèles à  $E$ .

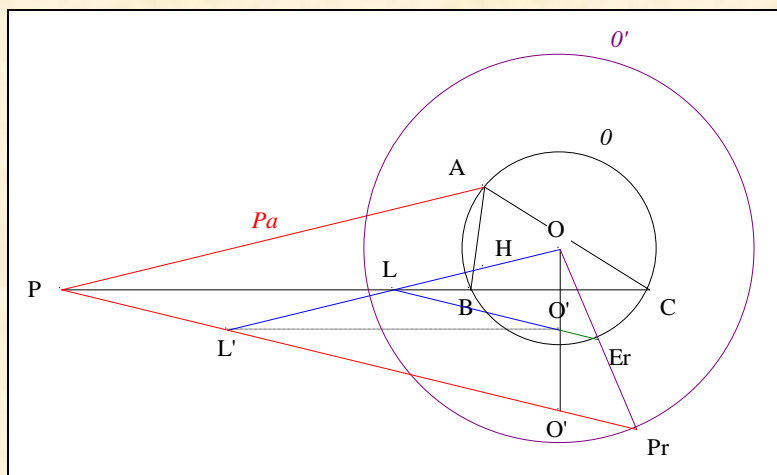


**Scolies :** (1) ce point de concours noté  $Pr$  est

- |   |             |  |
|---|-------------|--|
| * | en français | "le point de symétrie de Parry de ABC" |
| * | en anglais  | "the Parry reflection point of ABC"    |

et est répertorié sous  $X_{399}$  chez ETC <sup>22</sup>.

(2) Position de  $Pr$



- Notons  $Er$  l'antipoint d'Euler de ABC.
- **Conclusion :**  $Pr$  est le symétrique de  $O$  par rapport à  $Er$ .

**Note historique :**  $Pr$  a été étudié par le géomètre anglais Cyril Frederick Parry dans les années 1990.

#### 4. Une courte note sur Cyril Frederick Parry

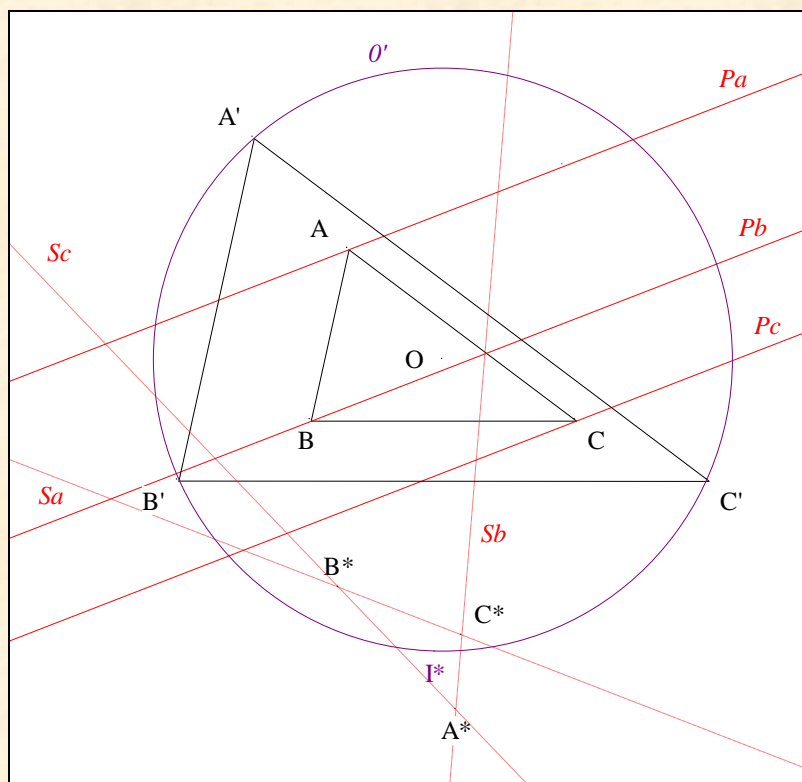
Vivien Harrison, la plus jeune des filles de Cyril Parry a annoncé le décès de son père au groupe *Hyacinthos* ; après un voyage en Égypte pour réaliser le rêve de sa vie i.e. celui de voir les pyramides, il décède le dimanche 13 février 2005 après une pneumonie suivie d'une crise cardiaque.

#### 5. Une généralisation du théorème de Collings-Lalesco

### VISION

**Figure :**

<sup>22</sup> Kimberling C., *Encyclopedia of Triangle Centers* ; <http://faculty.evansville.edu/ck6/encyclopedia/ETC.html>



<b>Traits :</b>	ABC	un triangle,
	O	le centre du cercle circonscrit à ABC,
	A'B'C'	le triangle homothétique de ABC (centre O, rapport 2),
	O'	le cercle circonscrit à A'B'C',
	Pa, Pb, Pc	trois droites parallèles entre elles passant resp. par A, B, C,
	Sa, Sb, Sc	les symétriques de Pa, Pb, Pc resp. par rapport à (BC), (CA), (AB)
	A*, B*, C*	les points d'intersection de Sb et Sc, Sc et Sa, Sa et Sb,
et	I*	le centre du triangle A*B*C*.

**Donné :** I\* est sur O'.<sup>23</sup>

**Commentaire :** la démarche est similaire qu'en A. III.

<sup>23</sup>

Finding locus, Sharygin Olympiad 2010 Final round, AoPS du 02/07/2013 ;  
<http://www.artofproblemsolving.com/Forum/viewtopic.php?f=46&t=541836>  
 Pohoata C., Hyacinthos, message #16732 ; <https://groups.yahoo.com/neo/groups/Hyacinthos/conversations/messages/16732>

## D. CERCLES

### PASSANT PAR

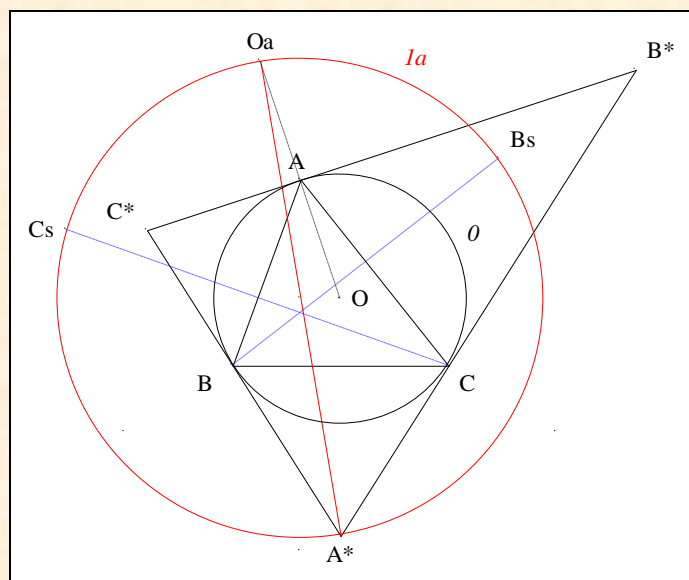
### LE POINT DE SYMÉTRE DE PARRY

**Commentaire :** marquons une pause pour s'intéresser au point de symétrie de Cyril Frederick Parry.

#### 1. Un premier résultat de Jean-Pierre Ehrmann

#### VISION

**Figure :**



<b>Traits :</b>	<p>ABC un triangle,</p> <p><math>\mathcal{O}</math> le cercle circonscrit à ABC,</p> <p>O le centre de <math>\mathcal{O}</math>,</p> <p><math>A^*B^*C^*</math> le triangle tangentiel de ABC,</p> <p><math>O_a</math> le symétrique de O par rapport à A,</p> <p>Bs, Cs les symétriques de B, C resp. par rapport à (CA), (AB)</p>
et	<p><math>I_a</math> le cercle de diamètre <math>[A^*O_a]</math>.</p>

**Donné :**  $I_a$  passe par Bs et Cs.<sup>24</sup>

**Commentaire :** les triangles symétrique et tangentiel de ABC sont mis en œuvre.

#### VISUALISATION

<sup>24</sup>

Ehrmann J.-P., Similar Pedal and Cevian Triangles, *Forum Geometricorum* **3** (2003) 101-104 ;

<http://forumgeom.fau.edu/FG2003volume3/FG200310index.html>

Pohoata C., *Hyacinthos*, message #15825, November 18, 2007 ; <https://groups.yahoo.com/neo/groups/Hyacinthos/info>

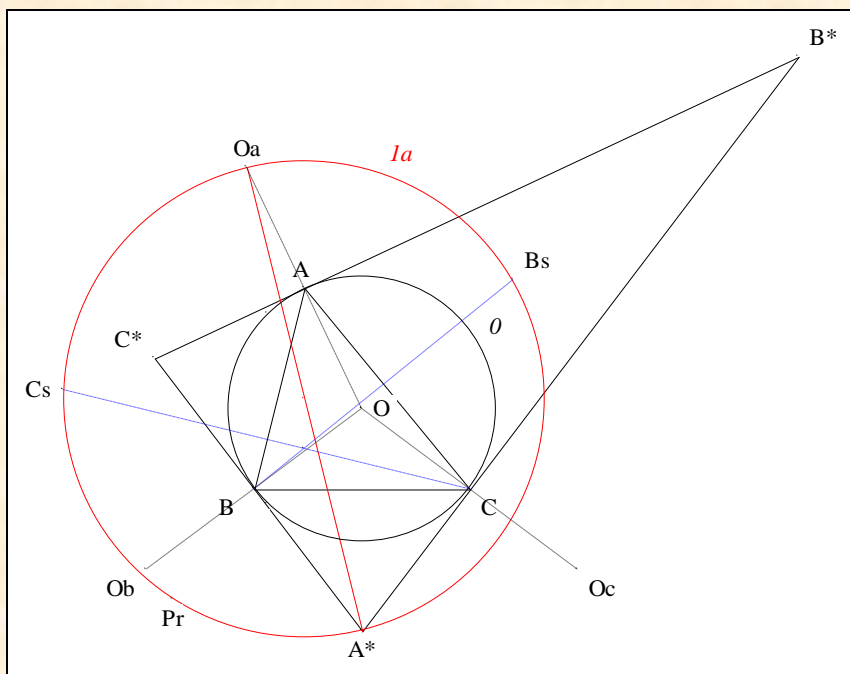




## 2. Le second résultat de Jean-Pierre Ehrmann

### VISION

Figure :



**Traits :** Ob, Oc aux hypothèses et notations précédentes, nous ajoutons les symétriques de O resp. par rapport à B, C,  
**et** Ia le cercle de diamètre  $[A^*Oa]$  ; il passe par Bs et Cs ;  
 Pr le point de symétrie de Parry de ABC.

**Donné :** Pr est sur  $Ia$ .<sup>27</sup>

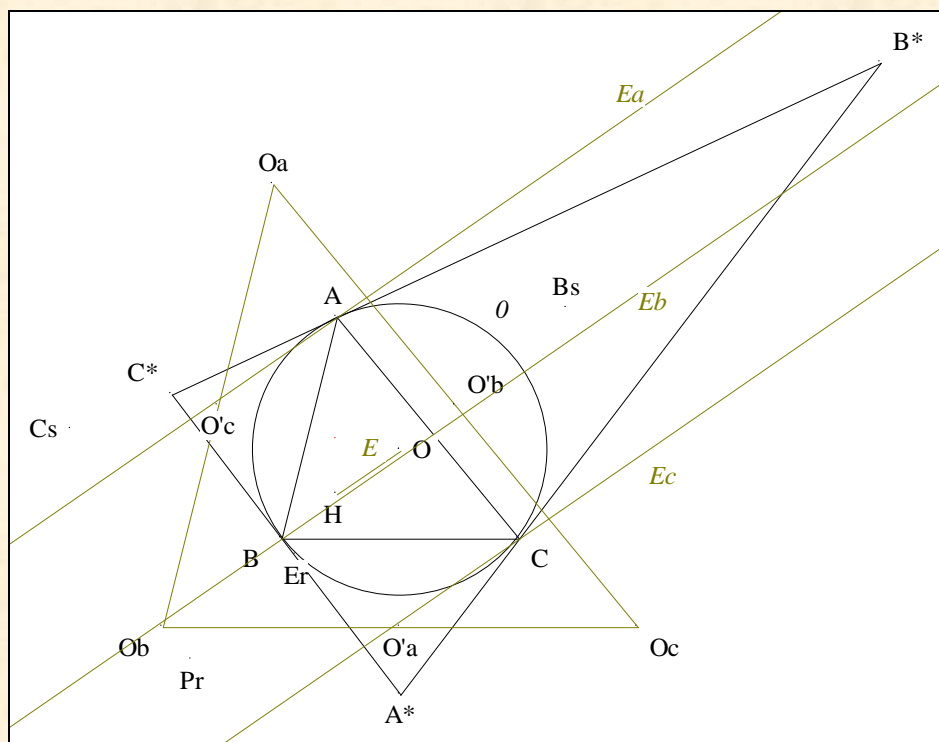
**Commentaire :** le point de symétrie de Parry sera sur plusieurs cercles.

### VISUALISATION

<sup>27</sup>

Ehrmann J.-P., Similar Pedal and Cevian Triangles, *Forum Geometricorum* **3** (2003) 101-104 ;  
<http://forumgeom.fau.edu/FG2003volume3/FG200310index.html>

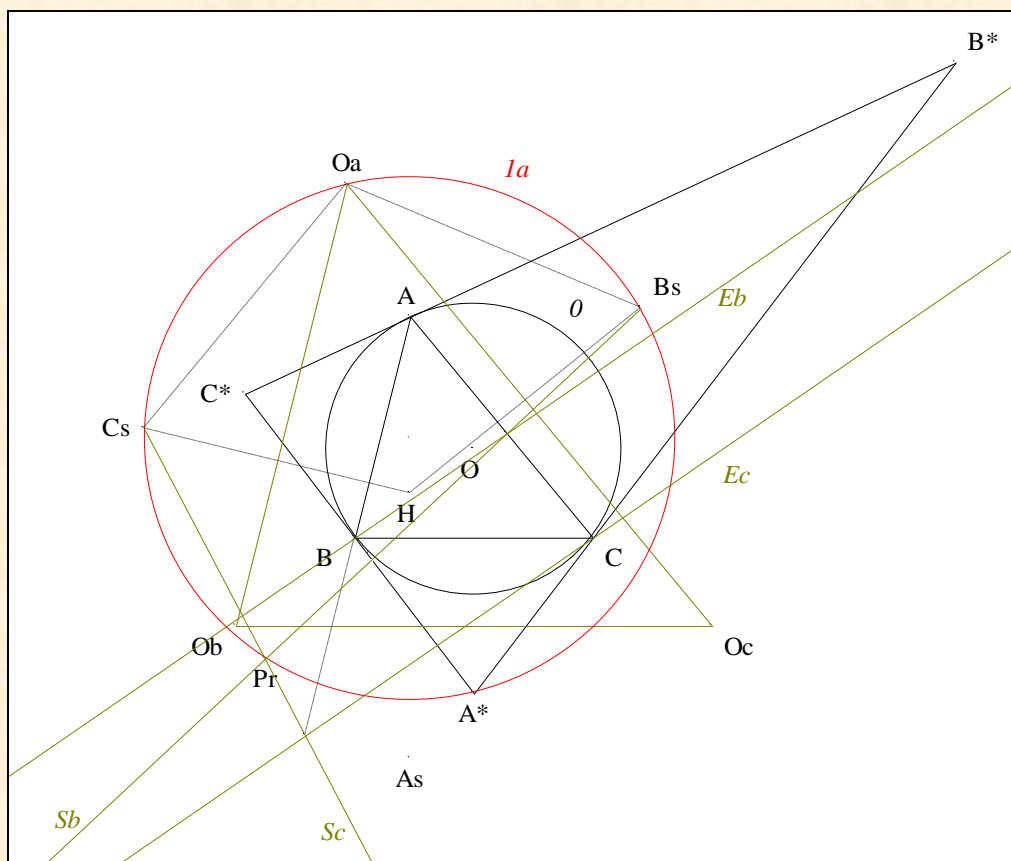




- Notons  $O'a, O'b, O'c$  les symétriques de  $Oa, Ob, Oc$  par rapport à  $(BC), (CA), (AB)$   
 $H$  l'orthocentre de  $ABC$   
 $E$  la droite d'Euler de  $ABC$  i.e.  $(OH)$ ,  
 et  $Ea, Eb, Ec$  trois céviennes de  $ABC$  passant resp. par  $A, B, C$  et parallèles à  $E$ .

- **Scolies :**  $O'a$  est sur  $(ObOc)$  ,  $O'b$  est sur  $(OcOa)$  ,  $O'c$  est sur  $(OaOb)$ .

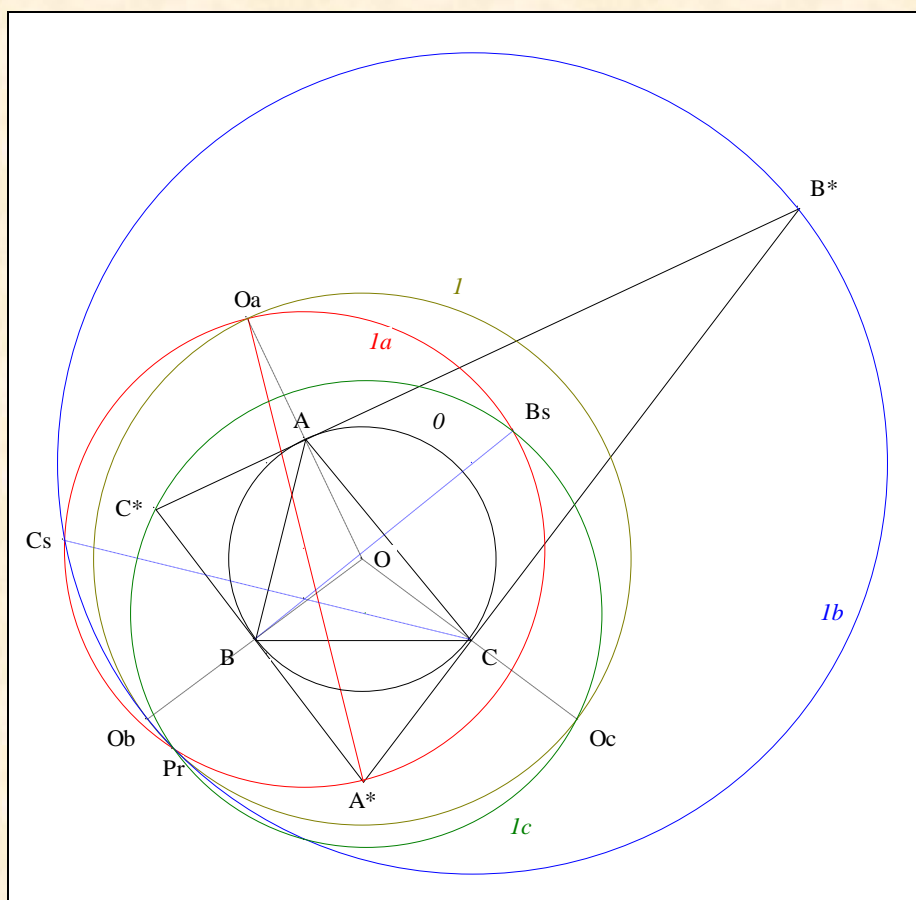
**Commentaire :** nous retrouvons la situation présentée en **C. 3**. Le point de symétrie de Cyril Parry i.e. que  $Pr$  est sur le cercle circonscrit au triangle  $OaObOc$ .



- Notons  $Sb, Sc$  les symétriques de  $Eb, Ec$  resp. par rapport à  $(CA), (AB)$ .
- **Scolies :**
  - (1)  $Sb$  passe par  $Bs$  ,  $Sc$  passe par  $Cs$
  - (2)  $Sb$  et  $Eb$  se coupent sur  $(AC)$  ;  $Sc$  et  $Ec$  se coupent sur  $(AB)$
  - (3)  $Pr$  est le point d'intersection de  $Sb$  et  $Sc$ .
- Une chasse angulaire à  $\Pi$  près :
  - \* d'après Chasles,  $\angle Sc, Sb = \angle Sc, (AB) + \angle (AB), (AC) + \angle (AC), Sb$
  - \* par intersection,  $\angle Sc, (AB) = \angle (AB), Ec$  ;  $\angle (AC), Sb = \angle Eb, (AC)$
  - \* par substitution,  $\angle Sc, Sb = \angle (AB), Ec + \angle (AB), (AC) + \angle Eb, (AC)$
  - \*  $Eb$  et  $Ec$  étant parallèles,  $\angle Sc, Sb = 2 \cdot \angle (AB), (AC)$
  - \* par parallélisme,  $2 \cdot \angle (AB), (AC) = 2 \cdot \angle (OaOb), (OaOc)$
  - \* par symétrie,  $2 \cdot \angle (OaOb), (OaOc) = \angle (OaCs), (OaBs)$
  - \* par transitivité de  $=$ ,  $\angle Sc, Sb = \angle (OaCs), (OaBs)$ .
- **Conclusion :**  $Pr$  est sur  $Ia$ .

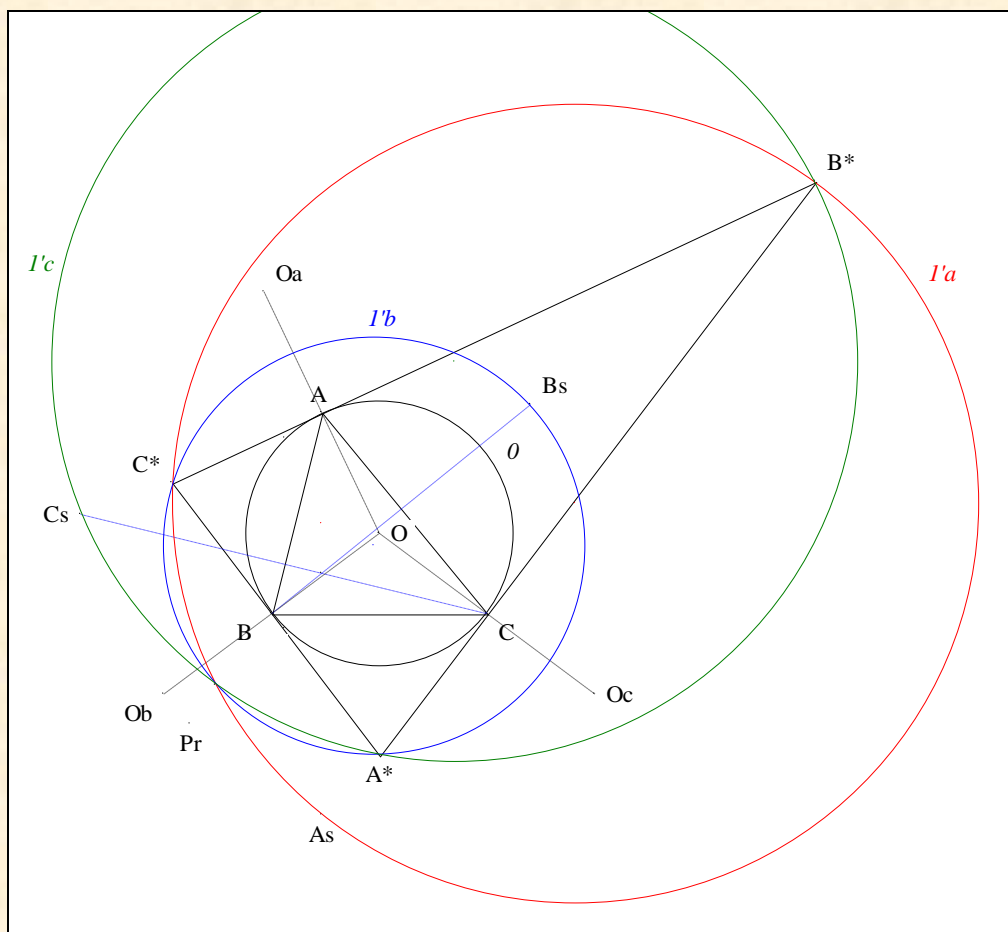
**Note historique :** la preuve de Jean-Pierre Ehrmann a recours aux coordonnées trilinéaires.

Scolies : (1) vision triangulaire



- Notons  $lb$  le cercle de diamètre  $[B^*Ob]$  ; il passe par Cs et As ;  
 $la$  le cercle de diamètre  $[C^*Oc]$  ; il passe par As et Bs ;  
 et  $l$  le cercle circonscrit à  $OaObOc$ .
- Mutatis mutandis, nous montrerions que  $Pr$  est sur  $lb$   
 $Pr$  est sur  $la$ .
- **Conclusion :**  $l, la, lb$  et  $lc$  passent par  $Pr$ .

(2) Trois autres cercles concourants



- Notons
 

$I'a$	le cercle passant par $B^*, C^*, As$
$I'b$	le cercle passant par $C^*, A^*, Bs$
et $I'c$	le cercle passant par $A^*, B^*, Cs$ .
- Rappelons que
 

$Ia$	le cercle passant par $Bs, Cs, A^*$	sont concourants en Pr.
$Ib$	le cercle passant par $Cs, As, B^*$	
et $Ic$	le cercle passant par $As, Bs, C^*$	
- **Conclusion :** d'après La technique d'accentuation"<sup>28</sup>,  $I'a, I'b$  et  $I'c$  sont concourants.<sup>29</sup>

<sup>28</sup>

Ayme J.-L., Du théorème de Reim au théorème des six cercles, G.G.G. vol. 2, p. 12-13 ; <http://perso.orange.fr/jl.ayme>

<sup>29</sup>

Pohoata C., On the Parry Reflection Point (Theorem 4), *Forum Geometricorum* vol. 8 (2008) 43-48 ;

<http://forumgeom.fau.edu/FG2008volume8/FG200806.pdf>

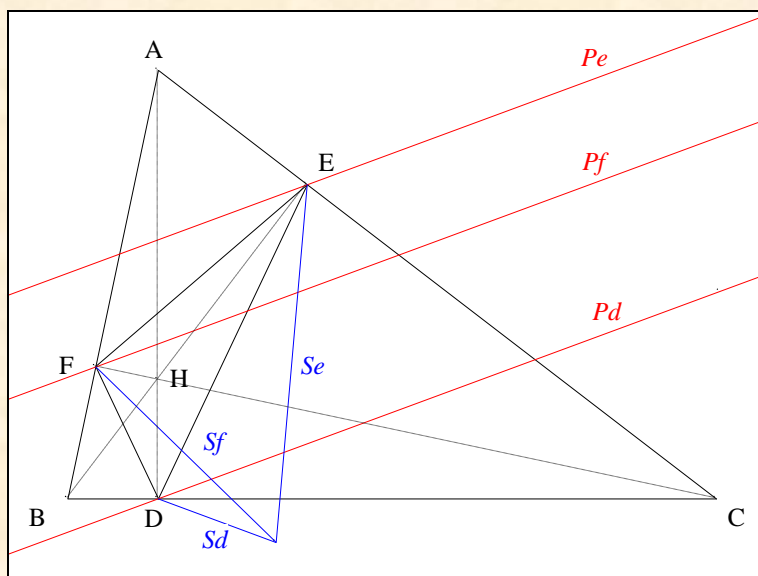
Pohoata C., *Hyacinthos*, message #15825, November 18, 2007 ; <https://groups.yahoo.com/neo/groups/Hyacinthos/info>

## E. UNE DIRECTION RELATIVE À UN TRIANGLE INSCRIT

### I. LE TRIANGLE ORTHIQUE

#### VISION

Figure :



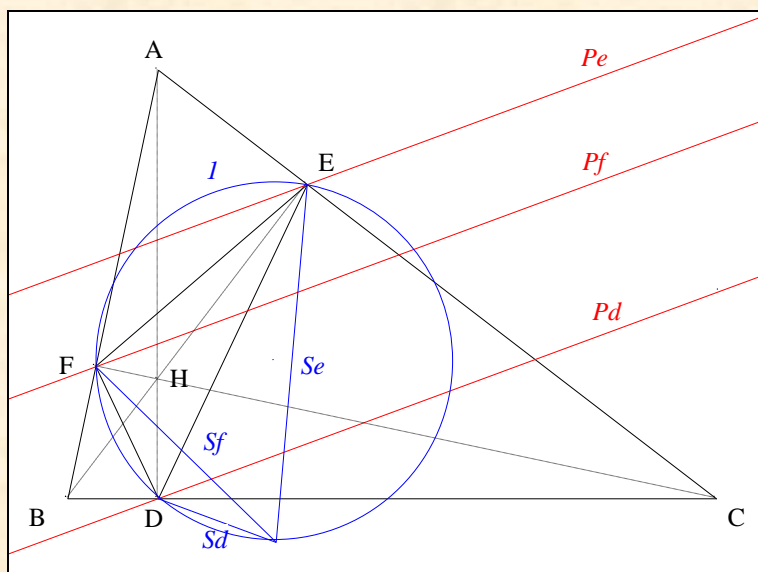
**Traits :** ABC un triangle,  
 DEF le triangle orthique de ABC,  
*Pd, Pe, Pf* trois droites parallèles entre elles passant resp. par D, E, F  
 et *Sd, Se, Sf* les symétriques de *Pd, Pe, Pf* resp. par rapport à (BC), (CA), (AB).

**Donné :** *Sa, Sb* et *Sc* sont concourantes.<sup>30</sup>

**Commentaire :** un triangle inscrit comme l'orthique.

#### VISUALISATION

<sup>30</sup> *Hyacinthos*, messages # 10563, 10566 du 01/10/2004 ;



- Notons  $I$  le cercle d'Euler de ABC ; il passe par D, E et F.
- H étant le centre de DEF,
  - (1)  $Sd$  est la D-isogonale de  $Pd$
  - (2)  $Se$  est la E-isogonale de  $Pe$
  - (3)  $Sf$  est la F-isogonale de  $Pf$ .
- D'après "Le théorème de Beltrami"<sup>31</sup>,  $Pd, Pe, Pf$  étant parallèles entre elles,  $Sa, Sb$  et  $Sc$  sont concourantes sur  $I$ .

## II. LE TRIANGLE INSCRIT EST DIRECTEMENT SEMBLABLE AU TRIANGLE ORTHIQUE

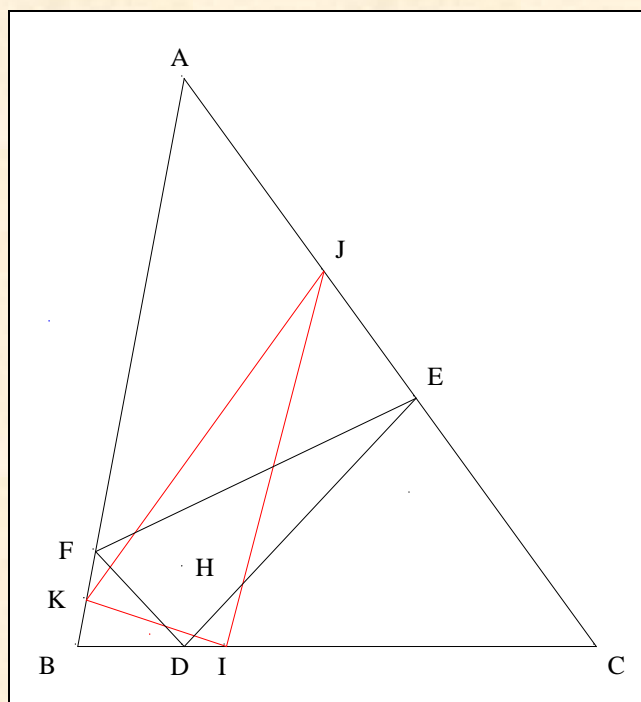
### 1. Construction d'un tel triangle

#### VISION

Figure :

<sup>31</sup> Beltrami E., *Archives de Grünert* 43, p. 48



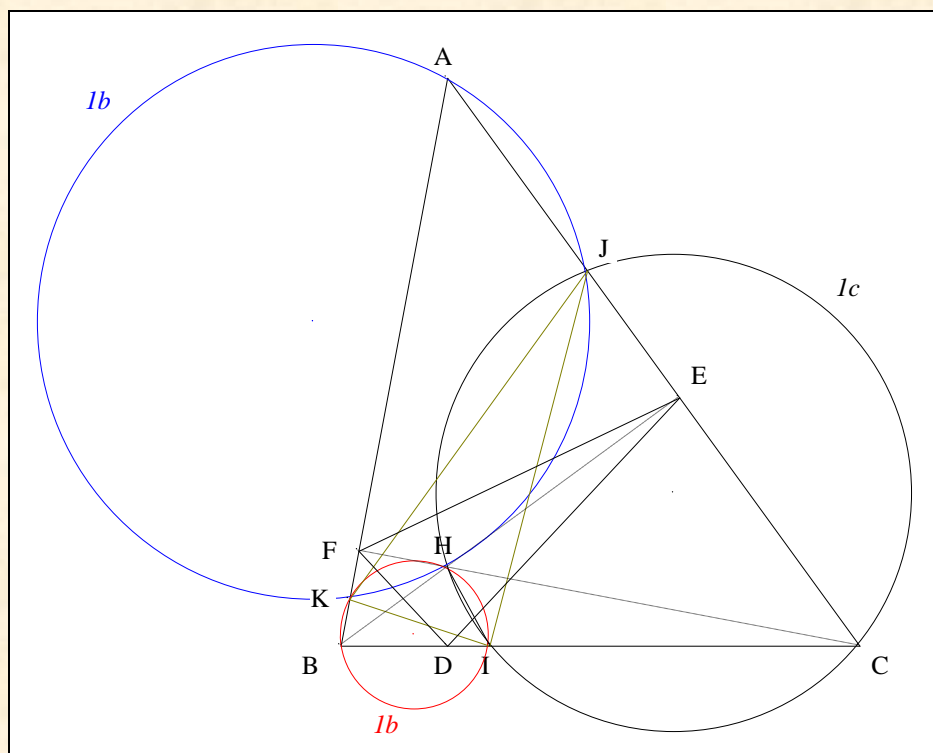


**Traits :** ABC un triangle,  
 DEF le triangle orthique de ABC  
 et IJK un triangle inscrit à ABC directement semblable à DEF.

**Donné :** construire IJK.

**Commentaire :** un résultat d'Auguste Miquel permet de le construire.

### VISUALISATION



### Construction

- Notons
 

H	l'orthocentre de ABC,
I	un point de (BC),
Ic	le cercle passant par C, H, I,
J	le second point d'intersection de Ic avec (CA)
Ia	le cercle passant par A, H, J,
K	le second point d'intersection de Ia avec (AB)
et Ib	le cercle passant par B, H, K.
- D'après Miquel "Le théorème des trois cercles concourants"<sup>32</sup>, Ib passe par I.

### Les triangles IJL et DEF

- Une chasse angulaire :

*	par culture géométrique,	$\angle EDF = \Pi - 2 \cdot \angle BAC$
*	par la relation de Chasles,	$\angle JIK = \angle JIH + \angle HIK$
*	par le théorème de l'angle inscrit,	$\angle JIH = \angle JCH$
	par une autre écriture,	$\angle JCH = \angle ACF$
	par complémentarité,	$\angle ACF = \Pi/2 - \angle BAC$
	par transitivité de la relation =,	$\angle JIH = \Pi/2 - \angle BAC$
*	mutatis mutandis,	$\angle HIK = \Pi/2 - \angle BAC$
*	par substitution et réduction,	$\angle JIK = \Pi - 2 \cdot \angle BAC$
*	en conséquence,	$\angle EDF = \angle JIK.$

<sup>32</sup>

Ayme J.-L., Auguste Miquel..., G.G.G. vol. 13, p. 4 ; <http://perso.orange.fr/jl.ayme>

- Mutatis mutandis, nous montrerions que

$$\begin{aligned}\angle FED &= \angle KJI \\ \angle DFE &= \angle IKJ.\end{aligned}$$

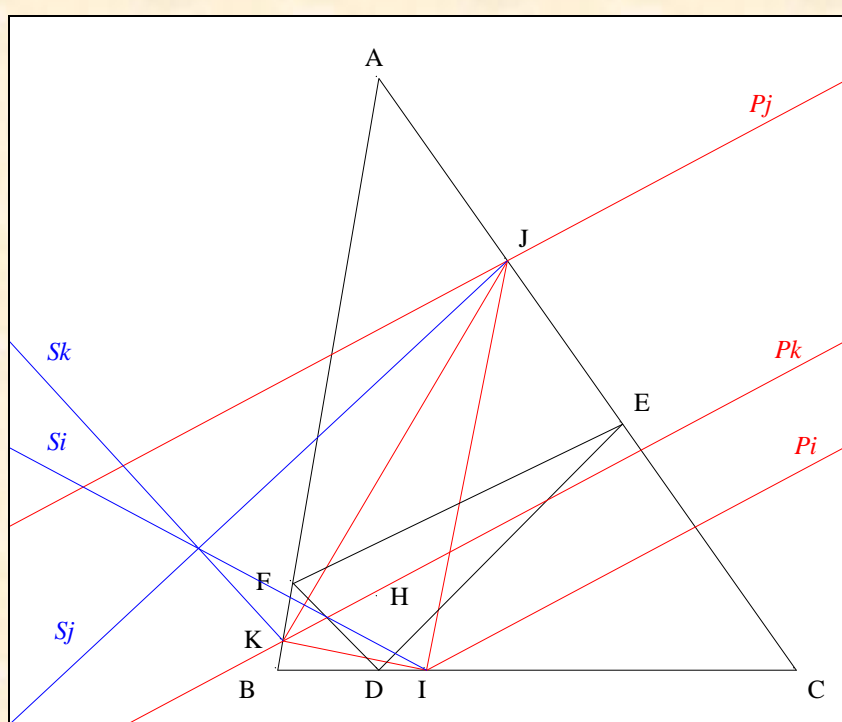
- **Conclusion** : IJK est directement semblable à DEF.

**Scolie** : H est le centre commun de DEF et JKL.

## 2. Une équivalence

### VISION

**Figure** :



**Traits** : ABC un triangle,  
 DEF le triangle orthique de ABC,  
 IJK un triangle inscrit à ABC,  
*Pi, Pj, Pk* trois droites parallèles entre elles, passant resp. par I, J, K  
 et *Si, Sj, Sk* les symétriques de *Pi, Pj, Pk* resp. par rapport à (BC), (CA), (AB).

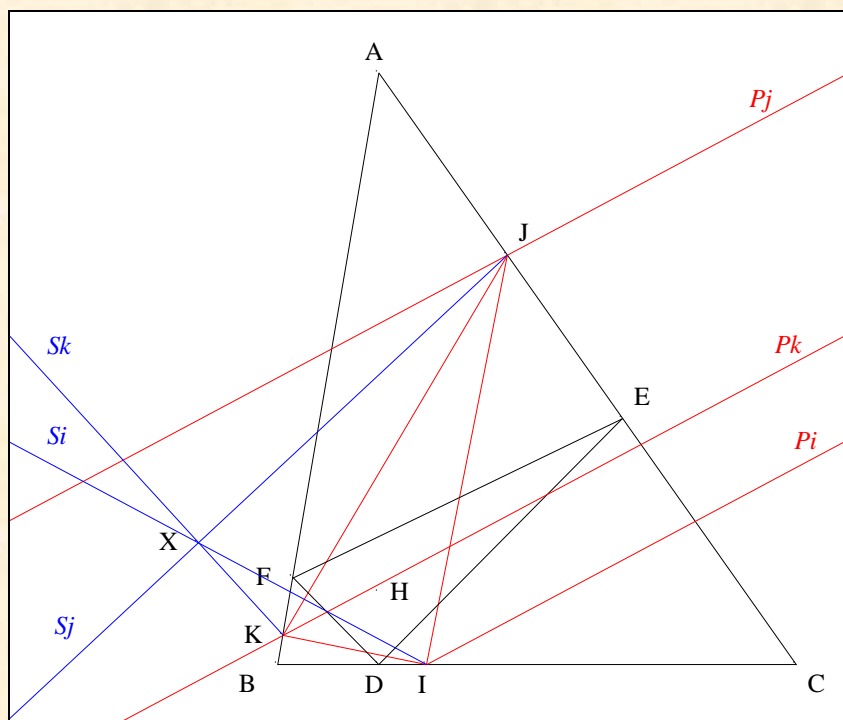
**Donné** : *Sa, Sb* et *Sc* sont concourantes si, et seulement si, IJK est directement semblable à ABC.<sup>33</sup>

**Commentaire** : un triangle inscrit répondant à une condition, est mis en œuvre.

### VISUALISATION NÉCESSAIRE

<sup>33</sup>

Some remarks on NPC concurrence, *Hyacinthos*, messages # 10562, 10563, 10566 du 01/10/2004 ;  
<https://groups.yahoo.com/neo/groups/Hyacinthos/info>

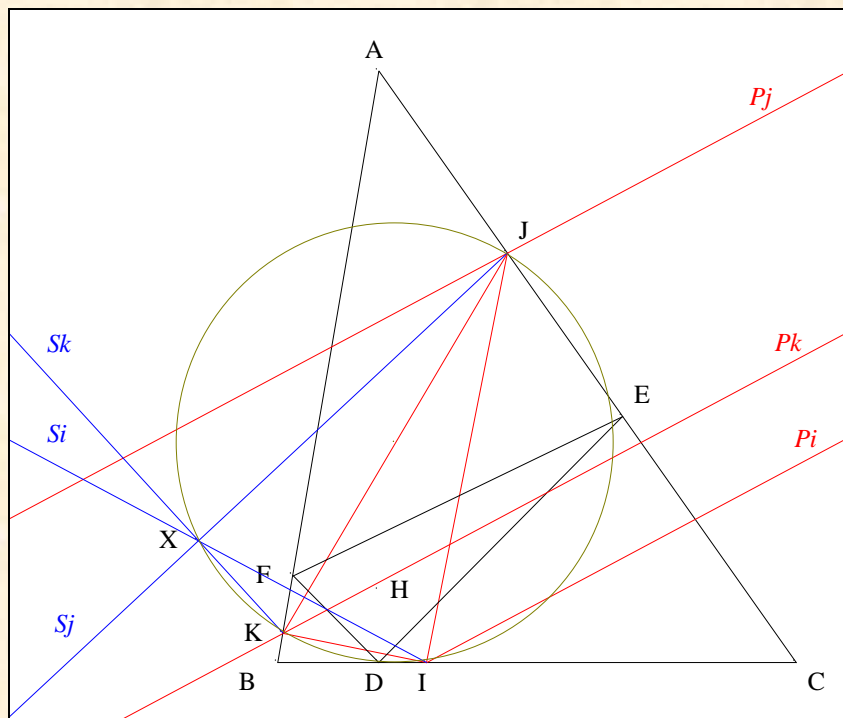


• **Hypothèse :**  $Pa, Pb$  et  $Pc$  sont concourantes.

• Notons  $X$  ce point de concours.

• Une chasse angulaire à  $\Pi$  près :

- \* d'après la relation de Chasles,  $\angle Sj, Sk = \angle Sj, (AC) + \angle (AC), (AB) + \angle (AB), Sk$
- \* par symétrie,  $= \angle (AC), Pj + \angle (AC), (AB) + \angle Pk, (AB)$
- \*  $Pj$  et  $Pk$  étant parallèles,  $= \angle (AC), (AB) + \angle (AC), (AB)$
- \* par addition,  $= 2. \angle (AC), (AB)$
- \* par culture géométrique,  $\angle Sj, Sk = \angle (DF), (DE)$
- \* ou encore,  $\angle JXK = \angle FDE.$

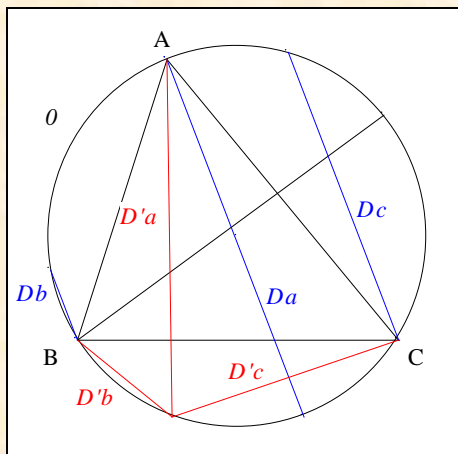


- Considérons une autre la direction.
- Notons  $Y$  le nouveau point de concours.
- Mutatis mutandis, nous montrerions que  $\angle FDE = \angle JYK$   
par transitivité de la relation  $=$ ,  $\angle JXK = \angle JYK$ .
- **Conclusion partielle :**  $J, K, X$  et  $Y$  sont cocycliques.
- Mutatis mutandis, nous montrerions que  $K, I, X$  et  $Y$  sont cocycliques  
 $I, J, X$  et  $Y$  sont cocycliques ;  
en conséquence,  $I, J, K, X$  et  $Y$  sont cocycliques.
- **Conclusion :**  $IJK$  est directement semblable à  $ABC$

### VISUALISATION SUFFISANTE

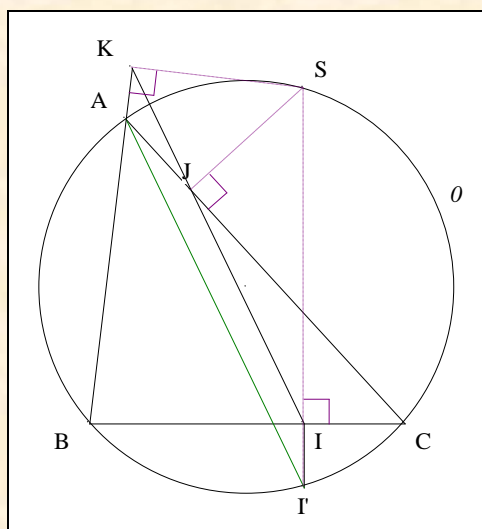
Elle est laissée aux bons soins du lecteur.

## F. ANNEXE

1. Le théorème de Beltrami <sup>34</sup>

**Traits:** ABC un triangle,  
 $O$  le cercle circonscrit à ABC,  
 $Da, Db, Dc$  trois céviennes de ABC passant resp. par A, B, C,  
 et  $D'a, D'b, D'c$  les isogonales resp. de  $Da, Db, Dc$  relativement à ABC.

**Donné :**  $Da, Db, Dc$  sont parallèles si, et seulement si,  $D'a, D'b, D'c$  sont concourantes sur  $O$ .

2. Direction d'une droite de Simson <sup>35</sup>

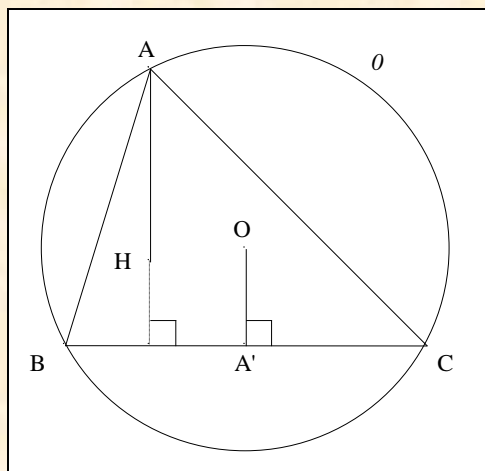
**Traits :** ABC un triangle,  
 $O$  le cercle circonscrit à ABC,  
 $S$  un point de  $O$ ,  
 et I, J, K les pieds des perpendiculaires abaissées de S resp. sur (BC), (CA), (AB)  
 $I'$  le second point d'intersection de (SI) avec  $O$ .

**Donné :**  $(AI')$  et  $(IJK)$  sont parallèles.

<sup>34</sup> Beltrami E., *Archives de Grünert* 43, p. 48  
<sup>35</sup> Heinen F., *Journal de Crelle* 3 (1828) 285-287



### 3. Une relation de Carnot <sup>36</sup>



**Traits :**      ABC    un triangle,  
                   H      l'orthocentre de ABC  
                    $\mathcal{O}$     le cercle circonscrit à ABC,  
                   O      le centre de  $\mathcal{O}$   
                   et    A'    le milieu de [BC],

**Donné :**       $AH = 2.OA'$ .

<sup>36</sup>

Carnot L., *Géométrie de position* (1803)